

Kosmos Himmels – Jahr 2020

KOSMOS

SONNE, MOND UND STERNE
IM JAHRESLAUF

*Mit 12 spannenden
Monatsthemen*

HANS-ULRICH KELLER



Kosmos Himmels — Jahr 2020

SONNE, MOND UND STERNE
IM JAHRESLAUF

Herausgegeben von Hans-Ulrich Keller
unter Mitarbeit von Erich Karkoschka

KOSMOS

Einleitung 5

Das Jahr 2020 auf einen Blick 7
 Erläuterungen zum Gebrauch 9
 Sonnen- und Mondfinsternisse 2020. 24

Januar 32

Sonnenlauf und Mondlauf. 34
 Planetenlauf 36
 Der Fixsternhimmel 41
 Monatsthema: Am Rande des Abgrunds 46

Februar 52

Sonnenlauf und Mondlauf. 54
 Planetenlauf 56
 Der Fixsternhimmel 59
 Monatsthema: Was ist eine Kilonova? 63

März 70

Sonnenlauf und Mondlauf. 72
 Planetenlauf 74
 Der Fixsternhimmel 78
 Monatsthema:
 Unser heißer Nachbarplanet 82

April 90

Sonnenlauf und Mondlauf. 92
 Planetenlauf 94
 Der Fixsternhimmel 99
 Monatsthema:
 Wo kommt das viele Wasser her? 102

Mai 108

Sonnenlauf und Mondlauf. 110
 Planetenlauf 112
 Der Fixsternhimmel 116
 Monatsthema:
 Missverständnisse 120

Juni 130

Sonnenlauf und Mondlauf. 132
 Planetenlauf 134
 Der Fixsternhimmel 138
 Monatsthema:
 Jagd auf Planet X 142



NASA/ESA/STS/A. Schaller

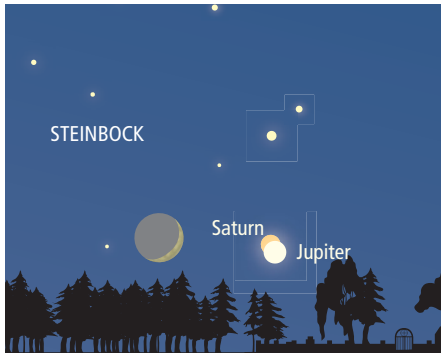
Jagd auf Planet X

Die Monatsthemen Januar – Juni

Am Rande des Abgrunds 46
 Was ist eine Kilonova? 63
 Unser heißer Nachbarplanet 82
 Wo kommt das viele Wasser her? 102
 Missverständnisse 120
 Jagd auf Planet X 142

Abbildungen zu den Planeten

Innere Planeten: Jahresübersicht 37
 Äußere Planeten: Jahresübersicht 38
 Merkur: Sichtbarkeiten .. 56, 112, 155, 237
 Merkur: Scheinbare Bahn 57, 155, 217
 Venus: Scheinbare Bahn. 96, 177
 Venus: Stellungen 96, 177
 Mars: Scheinbare Bahn 75, 197
 Jupiter: Scheinbare Bahn . . . 135, 158, 159
 Saturn: Scheinbare Bahn 158, 159
 Uranus: Aufsuchkarte 220
 Neptun: Aufsuchkarte 198
 Pluto: Aufsuchkarten. 135, 159
 Ceres (1): Aufsuchkarte 180
 Vesta (4): Aufsuchkarte 78, 240
 Flora (8): Aufsuchkarte 241



Das Rendezvous der Riesenplaneten 264

Die Monatsthemen Juli – Dezember

Schwerkraftfallen im Universum	165
Wie sind die Planeten entstanden?	185
Die Riesenschüssel von Guizhou	205
Der rote Planet im Blickpunkt	226
Wer stört den Mond?	245
Das Rendezvous der Riesenplaneten	264

Wichtige Abbildungen und Tabellen

Mond: Ekliptikale Koordinaten	278
Mond: Stellung junge Mondsichel	287
Sonne: Ekliptikale Koordinaten	279
Sonne: Ephemeride der Sonnenscheibe	286
Sonne: Synodische Rotation	286
Sonne: Fleckenrelativzahlen	287
Planeten: Ekliptikale Koordinaten	279
Planeten: Ephemeriden	280
Planeten: Scheinbare Größen	276
Planeten: Helligkeit und Sichtbarkeit	277
Kleinplaneten: Ephemeriden	284
Mars und Jupiter: Zentralmeridiane	285
Sternbedeckungen	288
Sternzeit um 20 Uhr MEZ	290
Koordinaten größerer Städte	291
Nomogramm zu Auf-/Untergang	292
Auf- und Untergangskorrektur	293
Das griechische Alphabet	21

Juli 150

Sonnenlauf und Mondlauf	152
Planetenlauf	154
Der Fixsternhimmel	162
Monatsthema:	
Schwerkraftfallen im Universum	165

August 172

Sonnenlauf und Mondlauf	174
Planetenlauf	176
Der Fixsternhimmel	181
Monatsthema:	
Wie sind die Planeten entstanden?	185

September 192

Sonnenlauf und Mondlauf	194
Planetenlauf	196
Der Fixsternhimmel	201
Monatsthema:	
Die Riesenschüssel von Guizhou	205

Oktober 212

Sonnenlauf und Mondlauf	214
Planetenlauf	216
Der Fixsternhimmel	223
Monatsthema: Der rote Planet im Blickpunkt	226

November 232

Sonnenlauf und Mondlauf	234
Planetenlauf	236
Der Fixsternhimmel	241
Monatsthema: Wer stört den Mond?	245

Dezember 252

Sonnenlauf und Mondlauf	254
Planetenlauf	256
Der Fixsternhimmel	260
Monatsthema:	
Das Rendezvous der Riesenplaneten	264

Anhang und Service 274

Übersicht der Monatsthemen 2011–2020	274
Tabellen und Ephemeriden	276
Kalendarium 2021 und 2022	294
Adressen von Sternwarten und Planetarien	296
Impressum	303



Das Kosmos Himmelsjahr – ein Führer durch die Welt der Sterne

Cynthiae figuras aemulatur Mater Amorum

Galileo Galilei

Mit diesem lateinischen Spruch hat Galilei seine Entdeckung der Venusphasen gewissermaßen verschlüsselt dokumentiert. Die Mutter der Liebe, unser Nachbarplanet Venus, ahmt die Lichtgestalten der Cynthia nach, Göttin der Jagd und poetische Bezeichnung für den Mond.

Im Frühjahr 2020 bietet sich eine günstige Gelegenheit, die Venusphasen einmal selbst zu beobachten. Venus zeigt sich bis Mitte Mai als Abendstern und ab Ende Juni bis Jahresende spielt sie ihre Rolle als Morgenstern. Im Januar erscheint unser innerer Nachbarplanet im Fernrohr noch klein und rundlich. Es ist spannend zu verfolgen, wie im Laufe des Frühjahrs Venus scheinbar immer größer wird, ihre Phase permanent abnimmt, bis sie sich Anfang Mai als große, schlanke Sichel präsentiert. Ausführlich wird Venus im Monatsthema März beschrieben.

Schon mit bloßen Augen zu beobachten ist das Wettrennen der beiden Riesenplaneten Jupiter und Saturn, bis sie gegen Jahresende knapp nebeneinander in der Abenddämmerung tief am Südwesthimmel zu sehen sind. Im März erscheinen beide Gasplaneten am Morgenhimmel. Im Juli sind sie die ganze Nacht über am Firmament vertreten. Am 21. Dezember 2020 überholt schließlich Jupiter den langsameren Saturn. Dabei kommen sich beide noch näher als bei ihrer letzten engen Begegnung im Februar 1961! Näheres zu diesem Wettlauf findet man im Monatsthema Dezember.

**V.1 Der Kugelsternhaufen Omega Centauri.
Aufnahme von Hans Bernhard, Sternwarte
Großhadern, München**

Für Einsteiger und Amateurastronomen

Den Lauf der Gestirne bewusst zu verfolgen und interessante Himmelsereignisse zu beobachten, zählt zu den schönsten und befriedigendsten Beschäftigungen. Was sich wann und wo am Sternenhimmel ereignet, ist daher im *Kosmos Himmelsjahr* vermerkt.

Auch der **110. Jahrgang** des vorliegenden Jahrbuches soll sowohl dem Einsteiger in die Himmelskunde als auch dem kundigen Amateurastronomen die erforderlichen Hinweise und Daten für eigene astronomische Beobachtungen bieten.

Der erfahrene Himmelsbeobachter findet auf Seite 304 Kurzhinweise zum Gebrauch dieses Jahrbuches. Ausführliche Erläuterungen zu den wichtigsten Grundtatsachen der Astronomie findet der Einsteiger in die Himmelskunde ab Seite 9.

Eine kalendarische Übersicht enthält das Kapitel „**Das Jahr 2020 auf einen Blick**“ auf Seite 7. Dem Hauptteil vorangestellt ist die Beschreibung der Sonnen- und Mondfinsternisse, die sich im Jahr 2020 ereignen (siehe Seite 24).

Der Anhang enthält ein Verzeichnis von Planetarien und Sternwarten sowie eine Liste von amateurastronomischen Einrichtungen, die den Kontakt zu Gleichgesinnten erleichtern soll.

Um möglichst allen Leserinnen und Lesern – vom Einsteiger bis zum versierten Beobachter – zu dienen, wird in den Monatsübersichten eine einfache, beschreibende Darstellung aller interessanten Himmelsvorgänge gebracht, während im Tabellenteil am Schluss wichtige Beobachtungsdaten in Form von Zahlentafeln vermerkt sind.

Eine ausführliche Einführung in die Himmelskunde findet man im *Kompendium der Astronomie*, in dem alle wichtigen Begriffe ausführlich erklärt werden.



V.2 Am 12. April 2015 zog Venus am Siebengestirn vorbei. Auch in diesem Jahr wird unser innerer Nachbarplanet Anfang April die Plejaden besuchen. Aufnahme von Martin Gertz/Sternwarte Welzheim.

Datenquellen und Danksagungen

Die Daten für das vorliegende Jahrbuch stammen, soweit nicht nachstehend besonders vermerkt, vom Planetarium Stuttgart. Das Institut de Mécanique Celeste et de Calcul des Éphémérides (IMCCE), Observatoire de Paris, lieferte die Daten für die Jupitermonderscheinungen, die Sonnenfleckenrelativzahlen das Observatoire Royal de Belgique, Brüssel, und die Daten für die Sternschnuppenströme die International Meteor Organization (IMO), wofür Herrn Dr. Jürgen Rendtel (Potsdam) zu danken ist. Mein besonderer Dank gilt meinem Mitarbeiter, Herrn Dr. Erich Karkoschka (Lunar and Planetary Laboratory, University of Arizona, Tucson) für seine Ephemeridenberechnungen und Anfertigung vieler Skizzen und Abbildungen.

Dank schulde ich auch Herrn Gerhard Weiland, der mit großer Sorgfalt und Umsicht die Rein-

zeichnungen der Grafiken angefertigt hat, sowie Herrn Wil Tirion für die Herstellung der monatlichen Sternkarten und Übersichten des Planetenlaufs. Dankbar bin ich auch Herrn Michael Vogel, der sorgfältig Korrektur gelesen hat.

Zu danken habe ich ferner Herrn Martin Gertz für die hervorragenden Astroatnahmen, die er auf der Sternwarte Welzheim gewonnen hat. Dank gebührt auch Frau Claudia Dintner für die sorgfältige Reinschrift des Manuskripts sowie den Mitarbeiterinnen und Mitarbeitern des Verlages, namentlich den Herren Siegfried Fischer und Sven Melchert, für die hervorragende Zusammenarbeit, ohne die dieses Jahrbuch nicht pünktlich erscheinen könnte.

Stuttgart, im März 2019
Hans-Ulrich Keller

Das Jahr 2020 auf einen Blick

Das Jahr 2020 ist nach dem Gregorianischen Kalender ein **Schaltjahr** mit **366** Tagen.

Beginn der Jahreszeiten:

FRÜHLING (Tagundnachtgleiche): 20. März, 4^h50^m

SOMMER (Sonnenwende): 20. Juni, 22^h44^m

HERBST (Tagundnachtgleiche): 22. September, 14^h31^m

WINTER (Sonnenwende): 21. Dezember, 11^h02^m

SOMMERZEIT: Die Mitteleuropäische Sommerzeit (MESZ) geht gegenüber der Mitteleuropäischen Zeit (MEZ) um eine Stunde vor. Sie soll vom **29. März** bis **25. Oktober** 2020 gelten. Kurzfristige Änderungen sind möglich.

KALENDERÄREN 2020

Das **jüdische Jahr** 5781 beginnt am 18. September mit Sonnenuntergang. Der jüdische Neujahrstag fällt daher auf den 19. September 2020.

Das **islamische Jahr** 1442 beginnt am 19. August mit Sonnenuntergang. Der erste Tag des islamischen Jahrs 1442 korrespondiert mit dem 20. August 2020.

Am 25. Januar 2020 beginnt das 37. Jahr im 79. Zyklus des **traditionellen chinesischen Kalenders**. Es ist das Jahr der Ratte (geng-zi).

Am 14. September beginnt in der **byzantinischen Ära** das Jahr 7529.

FEST- UND FEIERTAGE 2020

Neujahrstag:	Mittwoch,	1. Januar
Aschermittwoch:		26. Februar
Karfreitag:		10. April
Ostersonntag:		12. April
Ostermontag:		13. April
Maifeiertag	Freitag,	1. Mai
Christi Himmelfahrt:	Donnerstag,	21. Mai
Pfingstsonntag:		31. Mai
Pfingstmontag:		1. Juni
Fronleichnam:	Donnerstag,	11. Juni
Allerheiligen:	Sonntag,	1. November
Buß- und Bettag:	Mittwoch,	18. November
Totensonntag:		22. November
1. Advent:	Sonntag,	29. November
Heiliger Abend:	Donnerstag,	24. Dezember
1. Weihnachtstag:	Freitag,	25. Dezember
2. Weihnachtstag:	Samstag,	26. Dezember
Silvester:	Donnerstag,	31. Dezember

STAATSFEIERTAGE 2020

Tag der deutschen Einheit:	Samstag,	3. Oktober
Österreichischer Nationalfeiertag:	Montag,	26. Oktober
Schweizer Bundesfeier:	Samstag,	1. August
Liechtensteiner Staatsfeiertag:	Samstag,	15. August

Am 1. Januar beginnt das **panische Jahr** 2680.

Am 11. September beginnt das Jahr 1737 der **Ära Diokletians** (Koptische Ära).

Am 14. September beginnt das Jahr 2332 der **Seleukidenära**.

Am 14. Januar beginnt das Jahr 2773 der **römischen Ära a. u. c.**

Der 14. Januar 2020 des **Gregorianischen** Kalenders korrespondiert mit dem 1. Januar 2020 des **Julianischen** Kalenders.

Das Jahr 2020 entspricht dem Jahr 6733 der **Julianischen Periode**.

Der 1. Januar 2020 (0^h Weltzeit = 1^h Mitteleuropäische Zeit) hat die **Julianische Tagesnummer** 2458849,5

Das **astronomische Jahr** 2020 (Bessel-Jahr) beginnt bereits am 31. Dezember 2019 um 22^h03^m MEZ (B2020.0 = JD2458849,377). Der Dies Reductus (J2020.0 – B2020.0) beträgt somit 2^h57^m.



CHRONOLOGIE 2020

Sonnenzirkel: 13
Goldene Zahl (Mondzirkel): VII
Sonntagsbuchstabe: E, D
Indiktion (Römerzinszahl): 13
Epakte: 5
Jahresregent: Mond

FINSTERNISSE 2020

Das Jahr 2020 zeigt sich für Mitteleuropa ausgesprochen finsternisarm. Weder die ringförmige Sonnenfinsternis am 21. Juni noch die totale Sonnenfinsternis am 14. Dezember sind im deutschen Sprachraum beobachtbar. Weder eine totale noch eine partielle Mondfinsternis ereignen sich 2020. Von den vier Halbschattenfinsternissen des Mondes kann lediglich die vom 10. Januar bei uns verfolgt werden. Die Halbschattenfinsternisse von 5. Juni, 5. Juli und 30. November entgehen uns in Mitteleuropa.

Ausführliche Erläuterungen zu den Finsternissen findet man im Kapitel „Sonnen- und Mondfinsternisse 2020“ ab Seite 24.

PLANETEN 2020

MERKUR zeigt sich Anfang Februar bis Mitte Februar sowie Ende Mai am Abendhimmel.

Ende Juli und Mitte bis Ende November bietet der sonnennahe Planet eine Morgensichtbarkeit.

VENUS kommt am **24. März** in **größte östliche Elongation** (46°) von der Sonne. Von Januar bis Ende Mai ist sie am Abendhimmel vertreten. Am **3. Juni** erreicht sie ihre **untere Konjunktion** mit der Sonne. Von Ende Juni bis Januar 2021 spielt sie ihre Rolle als Morgenstern.

MARS: Am **14. Oktober** steht der rote Planet im Sternbild Fische in **Opposition** zur Sonne. Von Oktober bis Jahresende ist Mars am Abendhimmel sichtbar.

JUPITER kommt am **14. Juli** im Sternbild Schütze in **Opposition** zur Sonne. Bis Ende Dezember kann der Riesenplanet am Abendhimmel gesehen werden.

V.3 Eine Halbschatten-Mondfinsternis ist unauffällig.

Am 29. Januar 2021 steht er in Konjunktion mit der Sonne. Gegen Ende Februar 2021 taucht Jupiter am Morgenhimmel auf.

SATURN erreicht am 13. Januar seine Konjunktion mit der Sonne. Mitte März erscheint der Ringplanet am Morgenhimmel. Er steht am **20. Juli** im Sternbild Schütze in **Opposition** zur Sonne. Bis Ende Dezember ist der Ringplanet am Abendhimmel vertreten. Am 24. Januar 2021 wird er von der Sonne eingeholt und steht in Konjunktion mit ihr.

URANUS kommt am **31. Oktober** im Sternbild Widder in **Opposition** zur Sonne. In Konjunktion mit der Sonne steht Uranus am 26. April.

NEPTUN erreicht seine **Opposition** am **11. September** im Sternbild Wassermann. In Konjunktion mit der Sonne steht Neptun am 8. März.

PLUTO, der prominenteste Zwergplanet unseres Sonnensystems, steht am **15. Juli** im Sternbild Schütze in **Opposition** zur Sonne. Seine Konjunktion mit der Sonne erreicht Pluto schon am 13. Januar.

Ausführliche Angaben über die Sichtbarkeit der Planeten entnehme man der Rubrik „Planetenlauf“ in den Monatsübersichten.

Erläuterungen zum Gebrauch

Sterne, Sternbilder und Sternkarten	9	Die großen Planeten	18
Sternhaufen und Nebel	10	Kleinplaneten und Zwergplaneten	20
Die Helligkeit der Sterne	11	Die Monde der Planeten	20
Entfernungsangaben	12	Das griechische Alphabet	21
Zeitangaben	12	Sternschnuppen	21
Kalenderzyklen	15	Konstellationen und Ereignisse	22
Der Himmelskalender	16	Fixsternhimmel	22
Der Sonnenlauf	16	Monatsthemen	22
Der Mondlauf	16	Tabellen und Ephemeriden	22
Der Planetenlauf	17	Literaturhinweise	23

Wer zum ersten Mal dieses Jahrbuch in Händen hält, dem bieten nachstehende Erläuterungen eine erste Einführung in seine Benutzung.

Wer jedoch schon mit den Grundlagen der Himmelskunde vertraut ist, kann sofort die „Kurzhinweise zum Gebrauch“ dieses Jahrbuches auf Seite 304 aufschlagen.

Im *Kosmos Himmelsjahr* ist das Bild des abendlichen Fixsternhimmels für jeden Monat beschrieben. Eine Sternkarte erleichtert die Übersicht. Außerdem ist die Stellung des Großen Wagens und des Himmels-Ws um 22^h MEZ für jeden Monat aus einer Grafik ersichtlich. Der Große Wagen und das Himmels-W sind in jeder klaren Nacht zu beobachten, da sie bei uns zirkumpolar sind, also niemals untergehen.

Während die Fixsterne ihre Stellungen zueinander nicht ändern, sondern nur gemeinsam infolge der Erdrotation über das Firmament ziehen, gibt es Gestirne, die ihre Position im Laufe

von Wochen und Monaten ändern. Man nennt sie Wandelsterne oder Planeten. Sie sind die Geschwister unserer Erde, die ebenfalls ein Planet ist. Mit freiem Auge sind fünf Planeten zu sehen: Merkur, Venus, Mars, Jupiter und Saturn.

Von der Erde aus gesehen wandert somit die Sonne in einem Jahr durch die bekannten Sternbilder des Tierkreises. Der Wanderweg der Sonne heißt Ekliptik. Mond und Planeten bewegen sich ebenfalls in der Nähe der Ekliptik. Sie sind daher stets in den Tierkreissternbildern zu finden.

STERNE, STERNBILDER UND STERNKARTEN

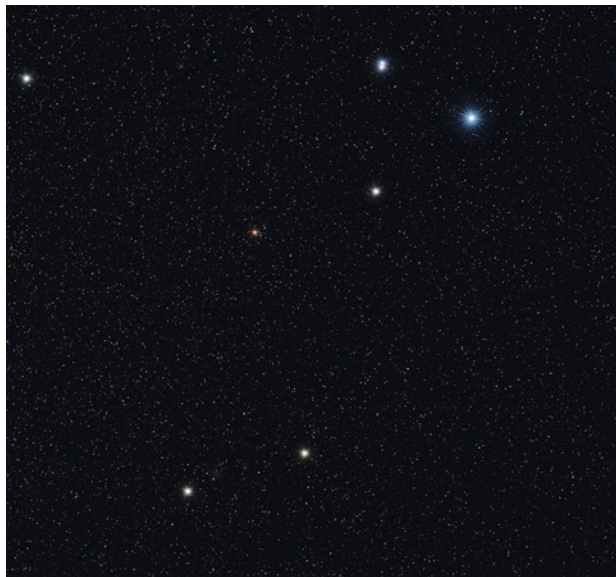
Je nach Fantasie und Kultur haben die einzelnen Völker Sterne und Sternbilder unterschiedlich benannt. Die Internationale Astronomische Union (IAU) hat für die gesamte Himmelskugel 88 Sternbilder festgelegt, die für alle Astronomen und Sternfreunde verbindlich sind. Diese 88 Sternbilder haben lateinische

Namen und jeweils eine Abkürzung von drei Buchstaben; Beispiel: der Krebs, lat.: Cancer, Abkürzung: Cnc.

Speziell für die Benutzer des Himmelsjahres empfehlen sich zur ersten Orientierung die Sternkarten im *Atlas für Himmelsbeobachter* von Erich Karkoschka. Neben den klassischen Sternatlanten gibt es heute auch gute Computerprogramme, die einen gewünschten Himmelsausschnitt am Monitor erscheinen lassen.

Nur die hellsten oder auffällige Sterne, die beispielsweise periodisch ihre Helligkeit ändern, haben Eigennamen erhalten. So heißen die beiden hellsten Sterne im Wintersternbild Orion Betelgeuze und Rigel, der berühmte veränderliche Stern im Perseus Algol.

Etwas systematischer hat Johannes Bayer im Jahre 1603 die Sterne bezeichnet, nämlich mit griechischen Buchstaben und dem Genitiv des lateinischen Sternbildnamens. So bekam der hellste Stern in der Leier die Be-



E.1 Die Leier mit ihrem Hauptstern Wega ist ein Sommersternbild.

zeichnung α Lyrae (oder kurz α Lyr), der zweithellste β Lyrae, der dritthellste γ Lyrae usw. Die Helligkeitsfolge ist aber nicht immer streng eingehalten, manchmal hat die Mythologie Vorrang; von den beiden hellen Zwillingsternen trägt der hellere Pollux die Bezeichnung β Geminorum, der etwas schwächere Kastor α Geminorum. Bei Doppelsternen wird gelegentlich noch ein Index an den griechischen Buchstaben angehängt. Beispiel: ε_1 und ε_2 Lyrae, der berühmte Vierfachstern in der Leier (jede Komponente ist ihrerseits ebenfalls ein Doppelstern). Die 24 griechischen Buchstaben (siehe Seite 21) pro Sternbild reichen natürlich nicht aus, um alle Sterne zu benennen.

Den ersten umfangreichen Sternkatalog nach Erfindung

des Fernrohrs hat John Flamsteed (1646–1719) im Jahre 1712 herausgegeben. Flamsteed hat die Sterne in einem Sternbild durchnummeriert. So hat ω Aurigae beispielsweise bei Flamsteed die Bezeichnung 4 Aurigae. Viele Sterne, die keine Bayer-Bezeichnung haben, sind jedoch mit Flamsteed-Nummern gekennzeichnet.

Bei schwächeren Sternen gibt man die Katalognummer an, unter der sie verzeichnet sind, oder einfach die genauen Koordinaten. Beispiele für Katalognummern: BD +52°1312 bedeutet Stern Nummer 1312 in der Deklinationszone von +52° bis +53° der sogenannten *Bonner Durchmusterung*. HD 128974, Stern aus dem *Henry-Draper-Katalog*, SAO 146912, Stern aus dem *Smithsonian Astrophysical*

Observatory Star Catalogue, FK5: 1051, Stern aus dem *5. Fundamental-Katalog*.

Sterne, deren Helligkeit variiert, werden häufig mit großen lateinischen Buchstaben und ihren Sternbildnamen versehen: RR Lyrae, T Coronae Borealis. Man kann somit aus der Bezeichnung auf die Eigenart dieser Sterne schließen.

STERNHAUFEN UND NEBEL

Man unterscheidet offene und kugelförmige Sternhaufen. Offene Sternhaufen enthalten Dutzende bis einige hundert Sterne, die alle einzeln als Lichtpunkte erkennbar sind. Kugelhaufen haben Hunderttausende bis Millionen Mitgliedssterne und sind als verwachsene, kreisrunde Lichtfleckchen zu sehen. Nur die Randpartien sind in Einzelsterne auflösbar, im Zentrum stehen die Sterne zu dicht, um als einzelne Lichtpunkte erkannt zu werden.

Zwischen den punktförmigen Sternen zeigen sich auch nebelhafte Gebilde. Bei den „Nebeln“ gilt es zwei Kategorien zu unterscheiden: Einmal beobachtet man tatsächlich Staub- und Gasmassen zwischen den Sternen unserer Milchstraße, wie zum Beispiel im Sternbild Orion den berühmten Orionnebel. Andere nebelhafte Lichtfleckchen lassen sich jedoch mit sehr großen Teleskopen in einzelne Sterne auflösen. Hier sieht man fremde, ferne Milchstraßensysteme. Das Licht von Milliarden Sternen wird von uns nur als schwa-



Martin Gertz / Sternwarte Welzheim

E.2 Der große Andromedanebel ist unsere nächste Nachbargalaxie.

ches Nebelfleckchen registriert, wie beispielsweise beim Andromedanebel. Wegen ihrer häufig spiraligen Gestalt spricht man auch von Spiralnebeln oder Galaxien.

Der französische Astronom Charles Messier (1730–1817) hat einen Katalog mit über hundert Sternhaufen und Nebeln zusammengestellt. Der Orionnebel wird z.B. mit M 42, der Andromedanebel mit M 31, der Kugelhaufen im Herkules mit M 13 bezeichnet. Wesentlich umfangreicher ist der Katalog von John L. E. Dreyer mit dem Namen *New General Catalogue of Nebulae and Clusters of Stars*, abgekürzt NGC. Später erschienen noch zwei Ergänzungen (*Index-Catalogue I and II*, kurz IC I und IC II) und schließlich der überarbeitete *Revised New General Cata-*

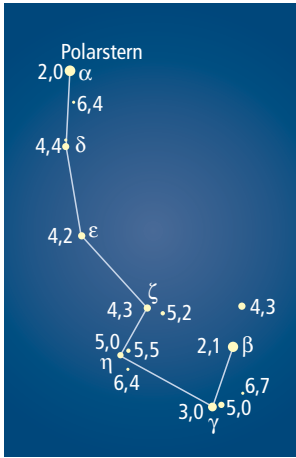
logue (RNGC). Daher trägt der Andromedanebel M 31 auch die Bezeichnung NGC 224.

DIE HELLIGKEIT DER STERNE

Man teilt die Sterne in Größenklassen ein. Diese Größenklassen geben nicht den Durchmesser oder die wahre Leuchtkraft der Sterne an, sondern ihre scheinbare Helligkeit am Himmel. Sterne erster Größe sind dabei heller als solche zweiter Größe. Ein schwaches Sternpünktchen sechster Größe ist eben noch mit bloßen Augen zu erkennen. Ein Stern erster Größe ist dabei hundertmal heller als ein Stern sechster Größe. Daraus folgt, dass ein Stern zweiter Größe 2,512-mal lichtschwächer ist als ein Stern erster Größe. Ein Stern dritter Größe wiederum

ist 2,512-mal lichtschwächer als ein Stern zweiter Größe, denn $2,512^5 = 100$. Die Größenklassenskala ist somit ein logarithmisches Maß.

Als Abkürzung verwendet man ein kleines hochgestelltes ^m für *magnitudo* (lat.) = Größe. Sterne, die heller als 1^m sind, bezeichnet man mit 0^m, -1^m, -2^m usw. Die Venus kann -4^m hell sein. Das bedeutet, dass sie dann hundertmal heller strahlt als ein Stern erster Größe, also mit 1^m! In manchen Schriften findet man gelegentlich die Abkürzung „mag“ für Größenklasse. In der Fachastronomie ist sie jedoch nicht in Gebrauch. Mit Teleskopen lassen sich auch Sterne beobachten, die schwächer sind als 6^m. In einem guten Fernglas sind Sterne bis 10^m erkennbar. In großen Teleskopen werden Ster-



E.3 Sternbild Kleiner Wagen mit Helligkeitsangaben in Größenklassen für die einzelnen Sterne.

ne bis 26^m beobachtet, also Objekte, die hundert Millionen Mal lichtschwächer sind als die schwächsten, dem menschlichen Auge zugänglichen Sterne mit 6^m. Die Helligkeiten der Sterne zu schätzen, sollte man üben. Abb. E.3 zeigt den Kleinen Wagen, wobei die Helligkeiten der einzelnen Sterne vermerkt sind. Da das Sternbild Kleiner Wagen zirkumpolar ist, kann es in jeder klaren Nacht zu jeder Uhrzeit gesehen werden.

Stünden alle Sterne gleich weit entfernt, sozusagen in einer Normentfernung, dann entspräche die beobachtete scheinbare Helligkeit auch ihrer wirklichen Leuchtkraft. Eine solche Normentfernung wurde mit 10 Parsec (knapp 33 Lichtjahre) festgelegt. Man rechnet nun die Helligkeit aus, die ein Stern in 10 Parsec Entfernung hätte, und bezeich-

net diese Größe als „absolute Helligkeit“ oder „wahre Leuchtkraft“ eines Sterns.

Um die absolute nicht mit der scheinbaren Helligkeit zu verwechseln, wird sie mit einem großen M (Magnitudo) abgekürzt. Beispiel: Unsere Sonne hat die enorme scheinbare Helligkeit von -27^m am Firmament und eine absolute Helligkeit von $+4,8^m$. Das heißt, in 33 Lichtjahren Entfernung erschiene uns die Sonne nur noch als Sternchen 5. Größe. Anmerkung: Da ^m auch für Minute steht, ist aus dem Textzusammenhang zu entnehmen, ob Helligkeiten oder Zeiten beziehungsweise Koordinaten gemeint sind.

ENTFERNUNGS-ANGABEN

In der Astronomie verwendet man, um große Zahlenungetüme zu vermeiden, für die Distanzen im Sonnensystem als Längenmaß die Astronomische Einheit (AE). Eine Astronomische Einheit entspricht der mittleren Entfernung der Erde von der Sonne, das sind rund 150 Millionen Kilometer.

Es gilt: 1 AE = 149 597 870 km
Diese Strecke legt das Licht in 8^m20^s zurück. Man spricht von der Lichtlaufzeit der Astronomischen Einheit. Jupiter ist beispielsweise 5,2 AE von der Sonne und Neptun rund 30 AE von ihr entfernt. Die Lichtlaufzeiten der Planetendistanzen betragen Minuten bis wenige Stunden. Die Sterne sind jedoch so weit entfernt, dass ihr Licht Jahre, Jahrhunderte und Jahrtausende zur

Erde unterwegs ist. Man gibt daher ihre Distanzen in Lichtlaufzeiten an, wobei man ein Lichtjahr (LJ) als Einheit nimmt. In einem Jahr legt ein Lichtstrahl im Vakuum rund zehn Billionen Kilometer zurück.

$$\begin{aligned} \text{Es gilt: } 1 \text{ LJ} &= 9,46 \times 10^{12} \text{ km} \\ &= 63\,240 \text{ AE} \end{aligned}$$

Ein Lichtjahr ist somit keine Zeit-, sondern eine Entfernungsangabe. In der Stellastronomie wird ferner das Parsec (Parallaxensekunde) verwendet. Ein Parsec entspricht 3,26 Lichtjahren. Die Definition des Parsec findet man im Begleitbuch zum *Himmelsjahr*, dem *Kompendium der Astronomie* im Abschnitt „Entfernungseinheiten in der Astronomie“.

Im *Himmelsjahr* werden die Entfernungen im Sonnensystem in AE und die Fixsterndistanzen in Lichtjahren angegeben. Parsec werden nicht verwendet.

ZEITANGABEN

ALLE UHRZEITEN im *Himmelsjahr* sind grundsätzlich in Mitteleuropäischer Zeit (MEZ) angegeben. Die Mitteleuropäische Zeit ist die mittlere Sonnenzeit des Meridians 15° östlich von Greenwich (Nullmeridian der Erde). Sie geht gegenüber der Weltzeit (UT = Universal Time) um eine Stunde vor. Es gilt: Weltzeit plus eine Stunde = MEZ.

Wenn es in Greenwich Mitternacht (0^h) ist, dann haben wir schon 1^h (MEZ) morgens. Für ortsabhängige Angaben (z.B. Auf- und Untergänge) gelten alle Zeiten genau für den Ort 10° östlich von Greenwich und

50° nördlicher Breite. Dieser Punkt liegt für Mitteleuropa ziemlich zentral.

DIE SOMMERZEIT ist eine willkürliche Verschiebung der Zonenzeit um eine Stunde, um die Tageshelligkeit besser auszunutzen und (angeblich) Energie einzusparen. Sie beruht nicht auf astronomischen Grundlagen und ist außerdem von Staat zu Staat verschieden. Um die Benutzer des Himmelsjahres nicht zu verwirren und die Daten konsistent zu halten, sind alle Angaben das ganze Jahr durchgehend in MEZ vermerkt. Es gilt: MEZ plus eine Stunde = MESZ (Mittel-europäische Sommerzeit). Gilt in einem Land die Sommerzeit, so ist zu den Zeitangaben im *Himmelsjahr* einfach eine Stunde zu addieren.

Achtung: Fällt ein Ereignis in die letzte Stunde vor Mitternacht, so ändert sich auch das Datum um einen Tag. Während der Dauer der Sommerzeit sind alle Zeitangaben in den Tabellen in einem dunkleren Farbton unterlegt.

AUF- UND UNTERGANGSZEITEN: Alle Auf- und Untergangszeiten (MEZ) gelten exakt für 10° östlicher Länge und 50° nördlicher Breite.

Für andere Orte in Mitteleuropa können diese Zeiten erheblich differieren (bis etwa eine halbe Stunde). Um schnell auch für andere Orte die Auf- und Untergänge ermitteln zu können, ist das Nomogramm auf Seite 292 gedacht.

Im Nomogramm sind die wichtigsten Städte in Mitteleuropa eingetragen. Man wähle eine Stadt, die dem eigenen Standpunkt am nächsten kommt. Dann lege man ein Lineal so auf das Nomogramm, dass es mit der Deklination des Gestirns beziehungsweise der Uhrzeit laut Tabelle „Sonnenlauf“ am oberen Bogen übereinstimmt. Dabei gilt das obere Vorzeichen für den Aufgang, das untere für den Untergang. Die Verbindungslinie (Lineal) gibt dann am unteren Bogen die Korrektur für die Auf- bzw. Untergangszeit an. Positive Werte bedeuten eine Verspätung, ein negativer Wert deutet an: Der Auf- oder Untergang erfolgt entsprechend früher. Die Zahlen geben die Minuten an.

Beispiel: Wann geht in Wien am 31. März die Sonne auf? Man verbinde mit einem Lineal den Punkt „Wien“ mit der 6-Uhr-Marke am oberen Bogen. Denn

Beispiel: Wann geht in Wien am 31. März die Sonne auf? Man verbinde mit einem Lineal den Punkt „Wien“ mit der 6-Uhr-Marke am oberen Bogen. Denn

SOMMERZEIT (MESZ) IN DER BUNDESREPUBLIK DEUTSCHLAND

	Beginn Sonntag	Ende Sonntag		Beginn Sonntag	Ende Sonntag
1980	06. April	28. September	2000	26. März	29. Oktober
1981	29. März	27. September	2001	25. März	28. Oktober
1982	28. März	26. September	2002	31. März	27. Oktober
1983	27. März	25. September	2003	30. März	26. Oktober
1984	25. März	30. September	2004	28. März	31. Oktober
1985	31. März	29. September	2005	27. März	30. Oktober
1986	30. März	28. September	2006	26. März	29. Oktober
1987	29. März	27. September	2007	25. März	28. Oktober
1988	27. März	25. September	2008	30. März	26. Oktober
1989	26. März	24. September	2009	29. März	25. Oktober
1990	25. März	30. September	2010	28. März	31. Oktober
1991	31. März	29. September	2011	27. März	30. Oktober
1992	29. März	27. September	2012	25. März	28. Oktober
1993	28. März	26. September	2013	31. März	27. Oktober
1994	27. März	25. September	2014	30. März	26. Oktober
1995	26. März	24. September	2015	29. März	25. Oktober
1996	31. März	27. Oktober	2016	27. März	30. Oktober
1997	30. März	26. Oktober	2017	26. März	29. Oktober
1998	29. März	25. Oktober	2018	25. März	28. Oktober
1999	28. März	31. Oktober	2019	31. März	27. Oktober
			2020	29. März	25. Oktober

laut Tabelle „Sonnenlauf“ auf Seite 72 erfolgt der Sonnenaufgang am 31. März um 5^h58^m. Die Verbindungslinie schneidet den unteren Bogen bei -24^m. Der Sonnenaufgang erfolgt in Wien somit 24 Minuten früher, also um 5^h34^m MEZ bzw. 6^h34^m Sommerzeit. Wem die Verwendung des Nomogramms zu kompliziert erscheint, der kann auch die Tabelle zur Auf- und Untergangskorrektur auf Seite 293 benutzen. Man suche die seinem Wohnort nächstliegende Stadt und lese einfach die Korrekturzeit in Minuten ab, wobei für Mond, Planeten oder Sterne noch vorher die Deklination zu ermitteln ist. Bei der Sonne beachte man das Datum.

DIE STERNZEIT: Um mit einem Fernrohr ein bestimmtes Gestirn zu finden, muss man die Stellung des Beobachters auf der Erde zu einer bestimmten Uhrzeit des Tages relativ zur Fixsternwelt kennen. Man braucht dazu einen Referenzpunkt unter den Sternen. Dies ist der Frühlingspunkt. Er ist der Schnittpunkt der aufsteigenden Sonnenbahn mit dem Himmelsäquator. Im Frühlingspunkt steht die Sonne zu Frühlingsbeginn. Er ist auch der Nullpunkt der äquatorialen Himmelskoordinaten. Nimmt man statt der Sonne den unter den Fixsternen (fast) feststehenden Frühlingspunkt, erhält man statt der Sonnenzeit die Sternzeit.

Steht der Frühlingspunkt im Süden (Meridian), spricht man von 0^h Sternzeit, eine Stunde

später von 1^h Sternzeit, usw. Es gilt: **Sternzeit = Stundenwinkel des Frühlingspunktes.**

Im *Himmelsjahr* ist die Sternzeit jeweils für 1^h MEZ (= 0^h Weltzeit) von zehn zu zehn Tagen für den Meridian von Greenwich (Nullmeridian) angegeben (siehe Tabelle auf Seite 286).

Die Tabelle auf Seite 290 erlaubt eine schnelle Bestimmung der Sternzeit zur abendlichen Beobachtungsstunde. Die Tabelle „Sternzeit“ gibt die Sternzeit um 20^h MEZ (= 21^h MESZ) am Ortsmeridian 10° östlicher Länge für jeden Tag des Jahres an.

Um den Stundenwinkel eines Gestirns zu ermitteln, bilde man die Differenz: Sternzeit minus Rektaszension des Gestirns, dann hat man den Stundenwinkel zum Beobachtungszeitpunkt und kann das Teleskop entsprechend einstellen.

Für die Bestimmung des Stundenwinkels eines Planeten kann man auch seine Kulminationszeit (Zeit des Meridiandurchganges) benutzen, wenn man keine Sternzeituhr zur Verfügung hat und sich die Berechnung der Sternzeit zum Beobachtungszeitpunkt ersparen will. Die Kulminationszeiten der Planeten und Kleinplaneten sind auf den Seiten 280 bis 284 angegeben. Die Kulminationszeit gilt für 10° östlicher Länge. Zunächst ist die Korrektur für die Längendifferenz des Beobachtungsortes anzubringen (siehe Seite 291, Spalte Zeitkorrektur gegen 10° östlicher Länge). Um diese so erhaltene Zeit geht der Planet durch den Meridian des Beob-

achters und hat somit den Stundenwinkel Null. Man bilde nun die Zeitdifferenz zwischen der Beobachtungszeit und der Zeit des Meridiandurchganges. Sie entspricht direkt dem Stundenwinkel (im Zeitmaß).

DIE DYNAMISCHE ZEIT: In der Astronomie wird seit 1984 eine Dynamische Zeit verwendet, die die vorher verwendete Ephemeridenzeit abgelöst hat. Nähere Erläuterungen zu den Dynamischen Zeitskalen finden sich in dem Buch *Kompendium der Astronomie*. Die genaue Differenz der Dynamischen Zeit (TT = Terrestrial Time) zur Weltzeit (UT = Universal Time) kann erst im Nachhinein aus Beobachtungen der Gestirnspositionen bestimmt werden. Der extrapolierte Wert für das Jahr 2020 lautet: $\Delta TT = +70$ Sekunden, wobei $\Delta TT = TT - UTC$ gilt. Die koordinierte Weltzeit (UTC) hinkt somit der Dynamischen Zeit (TT) um mehr als eine Minute nach.

Der beobachtende Sternfreund kann die TT unberücksichtigt lassen, wenn er nicht hohe Genauigkeitsansprüche hat. Wer jedoch die Angaben im *Himmelsjahr* mit anderen Jahrbüchern vergleicht, muss beachten, dass alle Zeitangaben hier in MEZ = UTC + 1^h und nicht in TT vermerkt sind.

Seit dem 1. Januar 2017 beträgt die Differenz der UTC zur Internationalen Atomzeitskala (TAI) $\Delta AT = +37,00$ Sekunden ($\Delta AT = TAI - UTC$) bis zum Einschub einer weiteren Schaltsekunde, die relativ kurzfristig vom Interna-

E.4 Das Siebengestirn: die Plejaden sind ein offener Sternhaufen. Aufnahme von M. Gertz/ Sternwarte Welzheim.

tional Earth Rotation and Reference Systems Service (IERS) in Paris bekannt gegeben wird.

BEGINN DES ASTRONOMISCHEN JAHRES: Nach Definition von Friedrich Wilhelm Bessel beginnt das astronomische Sonnenjahr, wenn die mittlere Sonne zum mittleren Äquinoktium die Länge von 280° ($\alpha = 18^h40^m$) unter Berücksichtigung der Aberration ($-20''5$) erreicht (auch Besselscher Jahresbeginn genannt).

Die Länge des **Besselschen Jahres** (auch Annus Fictus) entspricht der Länge des tropischen Jahres 1900 (365,242198781 mittlere Sonnentage = $365^d05^h48^m45^s975$). Die Länge des tropischen Jahres nimmt infolge der säkularen Akzeleration der Rektaszension der mittleren Sonne um $0,148 \times T$ Sekunden zu (T in Julianischen Jahrhunderten zu 36525 mittlere Sonnentage), während die Länge das Annus Fictus konstant bleibt.

Der Beginn des Annus Fictus wird mit „B+Jahreszahl Punkt Null“ bezeichnet (z. B. B2000.0) im Gegensatz zum Gregorianischen bzw. Julianischen Jahresbeginn (J) jeweils am 1. Januar um 0^hUTC. Die Differenz beider Äquinoktien (z. B.: $k = J2000.0 - B2000.0$) wird Dies Reductus (reduzierter Tag) genannt und ist stets kleiner als 24^h.



KALENDERZYKLEN

SONNENZIRKEL: Ordnungszahl (1 bis 28) im Zeitintervall von 28 Jahren, nach dem die Wochentage wieder auf dieselben Daten (dieselben Monatstage) fallen. Da es sieben Wochentage gibt, aber jedes vierte Jahr ein Schaltjahr ist, so fallen nach $7 \times 4 = 28$ Jahren die Wochentage wieder auf dieselben Monatsstage. Der Sonnenzirkel gibt an, welcher Sonntagsbuchstabe im betreffenden Jahr gilt.

SONNTAGSBUCHSTABE: Gibt im ewigen Kalender den Tag des ersten Sonntags im Jahr an. In Schaltjahren gelten zwei Sonntagsbuchstaben (der zweite ist ab dem 1. März zu benutzen).

- | | |
|-------------|-------------|
| 1. Januar A | 2. Januar B |
| 3. Januar C | 4. Januar D |
| 5. Januar E | 6. Januar F |
| 7. Januar G | |

EPAKTE: Gibt das Mondalter vermindert um 1 zu Beginn des Kalenderjahres an, also die Zahl der Tage, die am 31. Dezember

des Vorjahres seit dem letzten Neumondtermin verfloßen sind (1–29). Für Neumond am 31. Dezember steht meist ein * statt 0. Die Epakte spielt eine Rolle bei der Festlegung des Ostertermins.

GOLDENE ZAHL: Lateinisch Numerus Aureus oder auch Mondzirkel genannt, ist die Ordnungszahl (I bis XIX) der Jahre im Metonschen Mondzyklus. Da 235 Lunationen (synodische Monate) ziemlich genau 19 Jahren entsprechen, fallen nach 19 Jahren die Mondphasen (nahezu) auf dieselben Tage im Sonnenjahr. Die Goldene Zahl diente im Julianischen Kalender zur Bestimmung des Ostertermins. Im Gregorianischen Kalender ist sie durch die Epakte ersetzt. Die Goldene Zahl wird in römischen Ziffern geschrieben, um eine Verwechslung mit dem Sonnenzirkel auszuschließen.

INDIKTION (Römerzinszahl): Zyklus von 15 Jahren im Besteuer-

erungssystem des Römischen Reiches, das von Kaiser Augustus eingeführt wurde. Der Start (Epoche) des Zyklus erfolgte im Jahr 3 vor Chr. Heute dient die Indiktion (von lat.: *indictio* = Ankündigung) nur noch als chronologische Prüfzahl für das laufende Jahr. Die Indiktion läuft von 1 bis 15.

JAHRESREGENT: Gehört traditionsgemäß ebenfalls zu den Kalenderzyklen, hat aber keine chronologische Bedeutung mehr. Aus kulturhistorischen Gründen und da er in der Numismatik eine gewisse Rolle spielt sowie schlicht der Vollständigkeit halber ist er in der Rubrik „Kalenderzyklen“ mit aufgeführt. Jahresregent können sein: Sonne, Mond, Merkur, Venus, Mars, Jupiter und Saturn, also die klassischen sieben „Planeten“ des Ptolemäischen Welt-systems.

DER HIMMELSKALENDER

Jede Monatsübersicht beginnt mit dem zweiseitigen Himmelskalender. Auf der ersten Seite wird in kurzen Stichworten auf aktuelle Ereignisse im betreffenden Monat hingewiesen. Eine kleine Grafik zeigt die Stellung von Großem Wagen und Himmels-W jeweils um 22 Uhr MEZ relativ zum Nordhorizont.

Die zweite Seite des Himmelskalenders enthält eine Tabelle mit den Wochentagen und für jeden Tag die entsprechende Mondphase in einer kleinen Grafik. Vermerkt sind in der Tabelle ferner Feiertage, die Haupt-

phasen des Mondes, sichtbare Konstellationen von Mond und Planeten sowie die bei uns beobachtbaren Finsternisse.

DER SONNENLAUF

Die Bewegung der Sonne durch den Tierkreis ist zu Beginn jeder Monatsübersicht aus einer kleinen Grafik zu entnehmen.

Die Tages- und Nachtstunden sowie Dämmerungslängen werden durch eine dreiteilige Zeichnung (Uhrensymbole) veranschaulicht. Diese soll einen groben und schnellen Überblick über die Länge der Tages- und Nachtzeit geben. Für die Dämmerungszeiten wurde die nautische Dämmerung (Sonne 12° unter dem Horizont) eingesetzt.

Die Tabelle „Sonnenlauf“ gibt die Auf- und Untergangszeiten, Meridiandurchgang (Kulmination), Zeitgleichung und die Mittagshöhe der Sonne an sowie die äquatorialen Koordinaten Rektaszension und Deklination für 1^h MEZ jeweils von fünf zu fünf Tagen. Die Zeiten gelten exakt für einen zentralen Ort mit 10° östlicher Länge und 50° nördlicher Breite. Für diesen Ort gelten auch die Dämmerungszeiten. Angegeben ist jeweils der Beginn und das Ende der nautischen Dämmerung.

SONNENHÖHE ZU MITTAG: Sie ist in der Tabelle „Sonnenlauf“ für 50° nördlicher Breite angegeben. Für andere Breiten ist sie einfach zu ermitteln: 90° minus geografische Breite des Beobachters plus Sonnendeklination. Beispiel: Wie hoch steht die Son-

ne am 10. Juni zu Mittag (Kulmination) in Düsseldorf (geografische Breite: $+51^\circ$)? $90^\circ - 51^\circ + 23^\circ = 62^\circ$ (Im Winterhalbjahr die negativen Deklinationen der Sonne beachten!).

In der Grafik „Sonnenlauf“ jeweils zu Monatsbeginn ist die scheinbare Sonnenbahn (Ekliptik) durch die Sternbilder des Tierkreises für den jeweiligen Monat eingezeichnet. Ferner sind die Eintritte der Sonne sowohl in die einzelnen Tierkreissternbilder als auch in die Tierkreiszeichen vermerkt sowie die Äquinoktien (Tagundnachtgleichen) und Solstitionen (Sommer- und Winterbeginn).

DIE ZEITGLEICHUNG: Die Sonnenzeit wird nach einer fiktiven „mittleren Sonne“ gerechnet. Die wahre Sonne läuft nämlich ungleichförmig. So geht sie einmal vor, dann wieder nach. Die Differenz kann bis zu einer Viertelstunde plus oder minus betragen. Diese Differenz wird Zeitgleichung (ZGL) genannt. Sie ist definiert zu:

ZGL = Wahre Sonnenzeit minus Mittlere Sonnenzeit.

Die Zeitgleichung und die Kulmination der wahren Sonne sind tabellarisch aufgeführt. Ein negativer Wert der Zeitgleichung bedeutet, die wahre Sonne geht nach der mittleren durch den Meridian.

DER MONDLAUF

Auf- und Untergangszeiten (MEZ) gelten genau für 10° östlicher Länge und 50° nördlicher Breite (siehe Zeitangaben).

Ferner sind die Kulminationszeiten (Meridiandurchgänge) für 10° östlicher Länge tabelliert.

Der Mond bewegt sich recht schnell durch den Tierkreis. Deshalb sind für jeden Tag des Jahres seine Koordinaten angegeben. Sie gelten jeweils für 1^h MEZ (= 0^h Weltzeit). Wem diese Zahlen nichts sagen, der findet in der Spalte „Sterne und Sternbilder“ die Position des Mondes im Tierkreis vermerkt. Ein Sternchen (*) deutet auf eine Sternbedeckung hin.

Die Position des Mondes gilt wie erwähnt für 1^h MEZ. Wer also abends beobachtet, sollte die Stellung des Mondes im Tierkreis aus der Zeile des folgenden Tages entnehmen, denn der Mond läuft recht rasch. Nähere Angaben zu den Sternbedeckungen finden sich in der Tabelle „Sternbedeckungen durch den Mond“ auf Seite 288. Die letzte Spalte enthält die Mondphasen sowie wichtige Punkte in der Bahn.

Die Mondbahn ist rund 5° gegen die Ekliptik (scheinbare Sonnenbahn) geneigt. Aufsteigender Knoten bedeutet, der Mond überschreitet die Ekliptik nach Norden; absteigender Knoten, er wechselt wieder nach Süden. Größte Nordbreite: Der Mond steht am weitesten in nördlicher Richtung von der Ekliptik entfernt; analog dazu heißt größte Südbreite: Der Mond hat maximalen südlichen Abstand von der Ekliptik.

Im Tabellenteil findet man auf Seite 278/279 die Mondbahn relativ zur Ekliptik eingetragen.

Wegen der Rückläufigkeit der Mondbahnknoten verläuft die Mondbahn unter den Sternen in jedem Jahr anders.

DIE LIBRATION: Bei größter Südbreite ist die Nordhalbkugel des Mondes uns ein wenig mehr zugekehrt, man spricht von maximaler Libration Nord; entsprechend sieht man bei größter Nordbreite mehr vom Südpolgebiet des Mondes. Libration West: Westrand des Mondes, Libration Ost: Ostrand des Mondes ist uns zugekehrt (astronomische Definition West/Ost siehe auch *Kompendium der Astronomie*, Kapitel „Der Mond der Erde“).

„Libration West“ bedeutet, das Mare Crisium zeigt sich randfern, das Mare Smythii wird sichtbar. „Libration Ost“ heißt, das Mare Crisium rückt an den Westrand, im Osten zeigt sich der Ringwall Grimaldi randfern und das Mare Orientale wird gut sichtbar.

Bei Erdnähe und Erdferne ist die Distanz des Mondes jeweils in tausend Kilometer vermerkt. Außerdem ist der scheinbare Monddurchmesser in Bogenminuten angegeben. Neben der Phase „Neumond“ steht die Brownsche Lunationsnummer. Eine Lunation ist die Zeitspanne, die der Mond benötigt, um einmal alle Phasen zu durchlaufen, also von einem Neumond bis zum nächstfolgenden. Diese Zeitspanne heißt „Synodischer Monat“.

Auf Vorschlag von Ernst William Brown werden die Lunationen seit dem Neumond vom

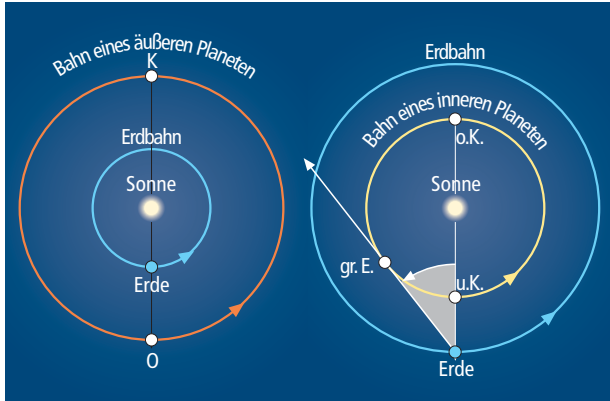
16. (17.) Januar 1923 fortlaufend nummeriert.

Unterhalb der Tabelle „Mondlauf“ findet sich eine Grafik, aus der die schnelle Wanderung des Mondes innerhalb einer Nacht an einem hellen Fixstern oder Planeten ersichtlich wird.

DER PLANETENLAUF

Planeten sind Geschwister der Erde. Sie laufen gemeinsam mit ihr um die Sonne. Je näher ein Planet der Sonne steht, desto schneller wandert er um sie. Wir beobachten die Planeten nicht von einem ruhenden Punkt aus, sondern vom Raumschiff Erde, das ständig in Bewegung ist. Deshalb erscheinen uns von der Erde aus (geozentrisch) die Bewegungen der Planeten vor dem Hintergrund der fernen Fixsterne – dem Muster der Sternbilder also – recht kompliziert. Überholt die Erde einen weiter außen laufenden Planeten, so scheint er einige Wochen lang zurückzubleiben, er ist „rückläufig“, wie man zu sagen pflegt. Anschließend bewegt er sich wieder in der ursprünglichen Richtung wie die Sonne von West nach Ost, er ist wieder „rechtläufig“. Durch diesen Bewegungswechsel bildet die Bahn des Planeten eine Schleife.

Ob ein Planet am Himmel zu sehen ist, hängt von der gegenseitigen Stellung von Sonne und Planet ab. Steht ein äußerer Planet von der Erde aus gesehen hinter der Sonne, Planet – Sonne – Erde bilden also eine Linie, so ist er nicht beobachtbar (siehe Abb. E.5). Da er in Sonnen-



E.5 Die linke Zeichnung zeigt die Erdbahn und die Bahn eines äußeren Planeten. Bei O steht der Planet in Opposition, bei K in Konjunktion. Auf der rechten Seite der Abbildung sind die Erdbahn und die Bahn eines inneren Planeten dargestellt. Bei u. K. steht der Planet in unterer, bei o. K. in oberer Konjunktion mit der Sonne. Bei gr. E. steht er in größter Elongation (Winkel grau gerastert).

richtung steht, geht er mit der Sonne auf und unter, bleibt somit nachts unter dem Horizont verborgen. Diese Konstellation heißt Konjunktion.

Steht der Planet von der Erde aus gesehen der Sonne gegenüber, also in der Reihenfolge Sonne – Erde – Planet (Abb. E.5), so spricht man von Opposition oder Gegenschein. Der Planet ist die ganze Nacht über zu sehen, da er mit Sonnenuntergang aufgeht und morgens mit Sonnenaufgang unter dem Westhorizont verschwindet. Bilden Sonne – Erde – Planet ein rechtwinkliges Dreieck, so spricht man von einer Quadratur.

Die inneren Planeten Merkur und Venus können niemals in Oppositionsstellung kommen. Dafür unterscheidet man bei ihnen zwischen oberer und unterer Konjunktion (Abb. E.5). In

diesen beiden Stellungen bleibt der Planet unsichtbar. Nur wenn der Planet westlich oder östlich der Sonne „in Elongation“ steht, kann er gesehen werden. Steht Venus in östlicher Elongation, so geht sie erst nach Sonnenuntergang unter, sie ist dann Abendstern. Steht sie in westlicher Elongation, so geht sie vor der Sonne auf und ist am Morgenhimmel zu sehen.

Ähnliches gilt für Merkur. Die größte Elongation (Winkelabstand von der Sonne) kann für die Venus 48° betragen, für den sonnennäheren Merkur aber nur 28° . Merkur ist daher schwierig zu beobachten – entweder abends kurz nach Sonnenuntergang tief im Westen oder kurz vor Sonnenaufgang tief am Osthimmel. Die Sichtbarkeiten der Planeten hängen nicht nur von den geometrischen Verhältnis-

sen (Stellung des Planeten und der Sonne), sondern auch von meteorologischen Gegebenheiten ab. Eine starke Dunstglocke, hohe Luftfeuchtigkeit (Nebel) oder irdisches Streulicht (Neonreklame, Fahrzeugscheinwerfer, Lichtdom eines Stadions) beeinträchtigen die Beobachtung.

Eine Grafik vor der Rubrik „Planetenlauf“ ermöglicht einen schnellen Überblick, welche Planeten am Abend, die ganze Nacht über, am Morgen oder gar nicht zu sehen sind. Eine grafische Jahresübersicht der Stellung, Größe, Helligkeit und Sichtbarkeit der Planeten findet sich auf den Seiten 276–277.

DIE GROSSEN PLANETEN

MERKUR: Sonnennächster Planet, zwischen $+3^m$ und -1^m hell; schwer zu beobachten, da nur kurze Sichtbarkeitsperioden und stets horizontnahe Stellung; chromgelbes Licht.

VENUS: Nach Sonne und Mond hellstes Gestirn, oft als Abend- bzw. Morgenstern bezeichnet. Helligkeiten von -3^m bis -4^m ; strahlend weißes Licht; entweder abends am Westhimmel oder morgens in der östlichen Hemisphäre zu sehen.

MARS: Äußerer Nachbarplanet der Erde, auffallend seine rötliche Farbe (der „rote Planet“); sehr unterschiedliche Helligkeiten von $+1^m$ bis -2^m .

JUPITER: Der größte aller Planeten, ein auffallend heller Planet, daher kaum zu übersehen; Helligkeit von -1^m bis -2^m , weißlichgelbes Licht.

E.6 Die Bahnen der inneren Planeten um die Sonne
 (1 AE = 1 Astronomische Einheit = 149,6 Millionen Kilometer). Der Pfeil deutet die Richtung zum Frühlingspunkt an (Symbol: ♈).

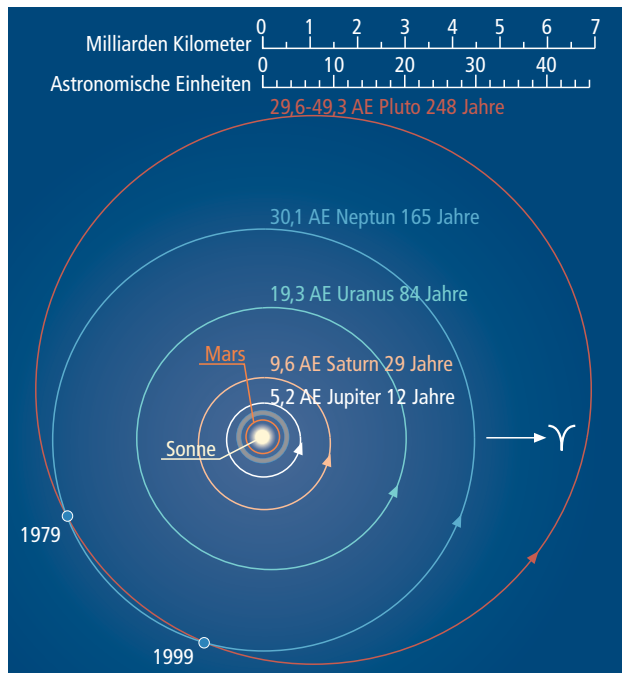
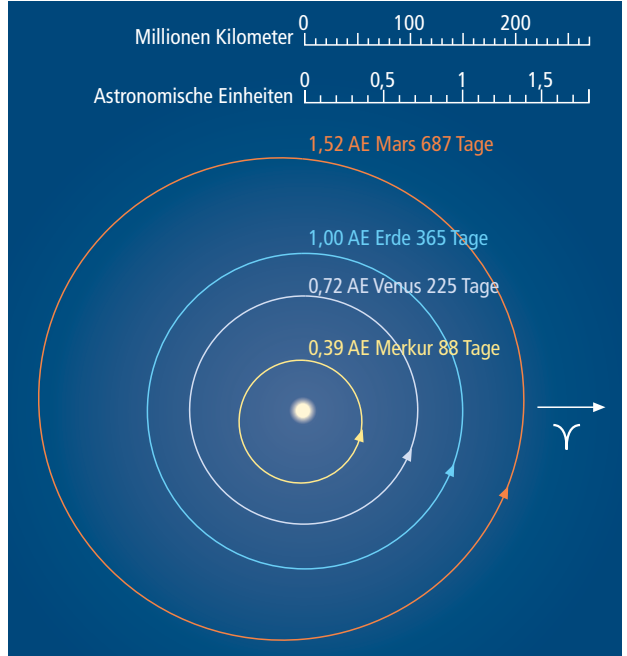
SATURN: Der sonnenfernste mit freiem Auge noch sichtbare Planet strahlt in einem fahlen Licht zwischen +1^m3 und 0^m, in Ausnahmefällen bis -0^m5. Den berühmten Ring kann man mit einem Fernrohr ab etwa 30-facher Vergrößerung erkennen.

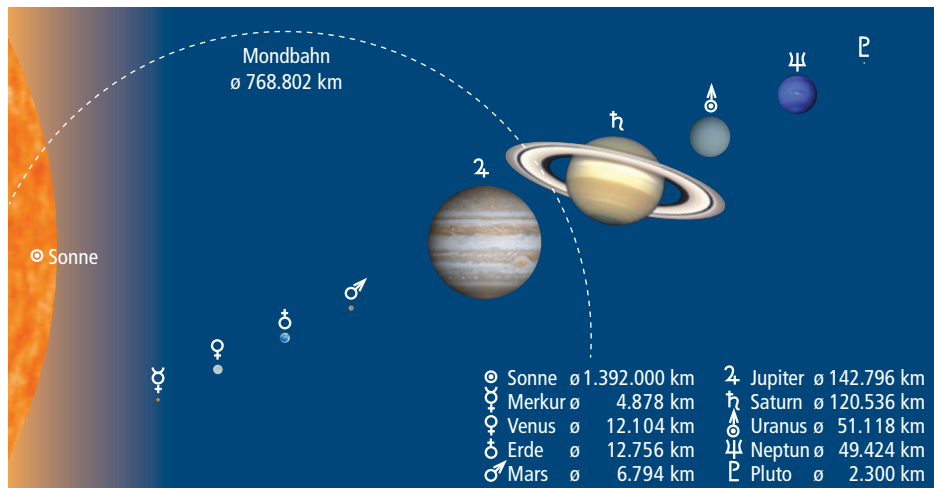
URANUS: Ist theoretisch mit bloßem Auge gerade noch erkennbar (Oppositionshelligkeit 5^m5). Wohlgermerkt „theoretisch“, es empfiehlt sich auf alle Fälle ein gutes Fernglas, um Uranus zu finden! Farbe: grünlich. Die im März 1977 entdeckten Ringe sind jedoch selbst in großen Fernrohren für Hobbyastronomen nicht zu sehen.

NEPTUN: sonnenfernster Planet, Helligkeit um 7^m9; zeigt im Fernrohr ein winziges, grünblaues Scheibchen.

Die Angaben der scheinbaren Helligkeiten sind – wie international üblich – V-Helligkeiten (nach dem UBV-System von Johnson). Die früher gebräuchli-

E.7 Die Bahnen der äußeren Planeten. Zwischen der Marsbahn und der Jupiterbahn laufen Abertausende Kleinplaneten (Planetoiden) um die Sonne. Wegen seiner stark exzentrischen Bahn war Pluto von 1979 bis Anfang Februar 1999 der Sonne näher als Neptun.





E.8 Größenverhältnisse der Planeten und der Mondbahn im Vergleich zur Sonne. Darunter sind die astronomischen Symbole der Planeten vermerkt, die auch in den monatlichen Sternkarten des Himmelsjahres die Orte der betreffenden Planeten markieren.

chen „visuellen“ (m_{vis}) Helligkeiten sind um ca. 0^m2 geringer, werden aber in manchen anderen Quellen noch verwendet.

KLEINPLANETEN UND ZWERGPLANETEN

Außer den acht großen Planeten schwirren noch Tausende kleiner und kleinster Planeten (Planetoiden oder Asteroiden) um die Sonne. Der erste wurde in der Neujahrsnacht des Jahres 1801 von Giuseppe Piazzi in Palermo entdeckt und auf den Namen Ceres getauft. Heute sind einige hunderttausend Planetoiden katalogisiert. Die meisten bewegen sich zwischen Mars und Jupiter um die Sonne. Einige haben jedoch sehr langgestreckte Bahnen, die die Bahnen anderer Planeten kreuzen. Sie können auch der Erde recht nahe kommen.

Einige Planetoiden, die in diesem Jahr heller als 9^m werden, sind in der Rubrik „Planetenlauf“ verzeichnet.

PLUTO: Seit IAU-Beschluss vom August 2006 als Zwergplanet eingestuft, ist sehr lichtschwach, Oppositionshelligkeit 14^m3. Nur gut ausgerüstete Amateurastronomen können ihn (fotografisch) beobachten.

DIE MONDE DER PLANETEN

Die beiden winzigen Marsmonde, die zahlreichen Uranusmonde, die Neptunmonde und die Plutomonde sind so lichtschwach, dass sie nicht mit den bescheidenen optischen Hilfsmitteln der Sternfreunde zu beobachten sind. Deshalb sind sie hier nicht aufgeführt.

JUPITER: Die vier hellsten Monde des Riesenplaneten sind

schon in kleinen Teleskopen leicht zu sehen: I Io, II Europa, III Ganymed und IV Kallisto.

In den Monaten, in denen Jupiter zu beobachten ist, findet man jeweils eine Grafik, aus der die Positionen der Jupitermonde im umkehrenden Fernrohr ersichtlich sind. Sie lassen die gegenseitigen Stellungen und die Bewegungsabläufe der Jupitermonde erkennen.

Die waagerechten Linien in der Grafik beziehen sich auf 1^h MEZ des jeweiligen Datums, das links angegeben ist. Die Schnittpunkte der waagerechten Linien mit den Kurven der Jupitermonde geben somit deren Positionen jeweils um 1^h MEZ an.

Am unteren Rand jeder Grafik findet man eine Darstellung der Jupitermond Bahnen relativ zum Beobachter.

ERSCHEINUNGEN DER JUPTERMONDE: Für den Fernrohrbesitzer ist es reizvoll, Bedeckungen, Verfinsterungen, Durchgänge und Schattenwürfe der Monde des Riesenplaneten auf Jupiter selbst zu beobachten.

Sofern diese Ereignisse von Mitteleuropa aus beobachtbar sind, findet man sie in der Rubrik „Jupitermonderscheinungen“ verzeichnet. Es gelten folgende Abkürzungen:

B = Bedeckung, Mond verschwindet hinter der Jupiterscheibe

D = Durchgang, Mond geht vor der Planetenscheibe vorbei

S = Schattendurchgang, Mond wirft seinen Schatten auf Jupiter

V = Verfinsterung, Mond wird vom Jupiterschatten getroffen

A = Anfang der Erscheinung

E = Ende der Erscheinung

I: Io, II: Europa, III: Ganymed, IV: Kallisto.

Beispiel: Juni: 8. 1 37 II SA

bedeutet: Am 8. Juni um 1^h37^m MEZ beginnt der Schatten von Mond II (Europa) über die Jupiterkugel zu wandern.

SATURNMONDE: Schon mit einem guten Fernglas ist der Riesenmond Titan zu erkennen. Im Fernrohr sind auch die Monde

Rhea, Dione und Tethys sowie Japetus in westlicher Elongation (er ist dann rund 2^m heller) zugänglich. Für die Monate, in denen Saturn zu beobachten ist, findet man jeweils eine Grafik, aus der die Stellungen und die Bewegungsabläufe der Saturnmonde Tethys, Dione, Rhea, Titan und Japetus zu entnehmen sind. Die Bahnlagen der Saturnmonde relativ zum Beobachter sind jeweils darunter abgebildet.

STERNschnuppen

In jeder Nacht des Jahres sind Meteore zu beobachten, doch variiert ihre Anzahl erheblich. Neben sporadisch auftauchenden Sternschnuppen gibt es periodisch wiederkehrende Ströme. Die dazu gehörenden Meteore scheinen dann von einem Punkt am Himmel in alle Richtungen auszustrahlen, dem Radianten oder Fluchtpunkt. Nach Lage des Radianten in einem bestimmten Sternbild wird der Meteorstrom benannt.

Sternschnuppen, die in Strömen periodisch auftreten, sind in den Monatsübersichten angegeben. Bei den verzeichneten Daten, vor allem, was die Häufigkeit betrifft, ist mit erheblichen

Abweichungen zu rechnen. Die in vorliegendem Jahrbuch verwendeten Daten stammen von der International Meteor Organization (IMO) und werden jährlich aktualisiert.

Die angegebene Meteorrate bezieht sich auf die unter besten Sichtbedingungen (ohne Störung durch irdische Lichtquellen oder Mondlicht) mit bloßen Augen pro Stunde sichtbare Zahl der Sternschnuppen für den Idealfall, dass der Radiant im Zenit steht. Vor allem bei horizontnahen Radianten ist die pro Stunde zu beobachtende Sternschnuppenzahl erheblich geringer. Am Morgenhimmel tauchen stets mehr Sternschnuppen auf als abends, da man mit dem „Gesicht nach vorne“ durch das Weltall fliegt (der Erdapex kulminiert um 6 Uhr morgens Ortszeit). Auch laufen etliche Meteorströme auf rückläufigen Bahnen, weshalb ebenfalls die Morgenstunden eine erhöhte Meteorrate aufweisen.

Der Begriff **Antihelion** bezieht sich auf den Oppositionspunkt zur Sonne in der Ekliptik. Er ist somit der Punkt, der eine ekliptikale Längendifferenz von 180° zur Sonne hat.

DAS GRIECHISCHE ALPHABET

A	α	Alpha	a	H	η	Eta	e	N	ν	Ny	n	T	τ	Tau	t	
B	β	Beta	b	Θ	θ	Theta	th	Ξ	ξ	Xi	x	Υ	υ	Ypsilon	y	
Γ	γ	Gamma	g	Ι	ι	Jota	i, j	Ο	ο	Omikron	o	Φ	φ	Phi	ph	
Δ	δ	Delta	d	Κ	κ	Kappa	k	Π	π	Pi	p	Χ	χ	Chi	ch	
E	ε	Epsilon	e	Λ	λ	Lambda	l	Ρ	ρ	Rho	r	Ψ	ψ	Psi	ps	
Z	ζ	Zeta	z	Μ	μ	My	m	Σ	σ	ς	Sigma	s	Ω	ω	Omega	o

KONSTELLATIONEN UND EREIGNISSE

Diese Übersicht weist auf Konjunktionen (Begegnungen) zwischen den großen Planeten, mit Sonne und Mond sowie auf alle Oppositionen zur Sonne und die größten Elongationen der inneren Planeten hin. Auch Perihel- (Sonnennähe) und Aphelstellungen (Sonnenferne) der Planeten sind angegeben.

Sind Begegnungen des Mondes mit Planeten prinzipiell beobachtbar, so sind die Winkeldistanzen topozentrisch (für +50° Breite) angegeben und durch **Fettdruck** hervorgehoben.

Für die übrigen Konjunktionen sind die Abstandsangaben geozentrische Werte (Normaldruck). Denn durch die relative Erdnähe des Mondes ergibt sich eine große Parallaxe, das heißt, der Winkelabstand des Mondes von einem Planeten kann bis etwa 1° differieren zwischen einem (fiktiven) Beobachter im Erdmittelpunkt (geozentrisch) und einem Beobachter auf der Erdoberfläche (topozentrisch). Ferner sind wichtige Ereignisse durch **Fettdruck** hervorgehoben.

FIXSTERNHIMMEL

Da die Sonne täglich um rund 1° unter den Sternen nach Osten vorrückt, ändert sich der Anblick des Himmels im Laufe eines Jahres. Genauer: Täglich durchschreiten die Fixsterne den Meridian vier Minuten früher als am Vortag. In 30 Tagen, also einem Monat, macht das schon zwei Stunden!

Mitte Dezember steht das Sternbild Orion gegen Mitternacht im Süden. Mitte Januar schon um 22 Uhr, und Mitte Februar geht Orion um 20 Uhr durch den Meridian. Dadurch ändert sich zur gleichen Beobachtungsstunde die Himmelszene mit dem Datum. Nach einem Monat ist der Anblick noch nicht allzu verschieden vom Vormonat, aber nach einem Vierteljahr (sechs Stunden!) hat sich die Szenerie völlig umgestellt.

Man spricht daher von einem typischen Frühlings-, Sommer-, Herbst- und Wintersternhimmel. Gemeint ist der Anblick des Fixsternhimmels in den Abendstunden der jeweiligen Jahreszeit.

Die Monatssternkarte dient der schnellen Orientierung. Sie zeigt den beobachtbaren Himmelsausschnitt für 50° nördlicher Breite zur Standardbeobachtungszeit (am Monatsersten um 23^h MEZ, am 15. um 22^h MEZ).

Ebenfalls in die Monatssternkarten eingetragen sind die fünf hellen Planeten (Merkur bis Saturn), sofern sie zur Monatsmitte um 22^h MEZ über dem Horizont stehen.

Zum Rand hin erscheint die Sternkarte aufgehellert. Es werden damit die Extinktion und die durch künstliche Lichtquellen fast immer aufgehellten Horizonte nachempfunden.

Die monatlichen Sternkarten können auch zur Beobachtung am Morgenhimmel herangezogen werden. Unter jeder Stern-

karte finden sich die entsprechenden Datums- und Uhrzeitangaben.

Man beachte noch, dass für andere Monate der Planetenstand nicht aktuell ist. Man entnehme ihn der Grafik „Planetenlauf“ im aktuellen Monat.

MONATSTHEMEN

Hier wird monatlich ein Kapitel aus der Himmelskunde kurz und bündig dargestellt, zum leichteren und allmählichen Eindringen in die Wissenschaft von den Sternen. Auch über neue Forschungsergebnisse aus der Astronomie wird berichtet.

Wer ältere Jahrgänge des Himmelsjahres besitzt, möchte gelegentlich in einem Monatsthema der letzten Jahre nachsehen. Auf Seite 274 findet man dazu ein Verzeichnis der Monatsthemen von 2011–2020. Im *Kosmos Himmelsjahr 2010* findet man auf Seite 273 ein Verzeichnis der Monatsthemen von 2001–2010. Ferner ist im *Kosmos Himmelsjahr 2001* auf Seite 249 ein Verzeichnis der Monatsthemen 1990–2000 und im *Himmelsjahr 1989* auf Seite 193 ein Verzeichnis der Monatsthemen 1982–1989 abgedruckt.

TABELLEN UND EPHEMERIDEN

Für den fortgeschrittenen Amateurastronomen sind im Anhang wichtige Beobachtungsgrundlagen vermerkt. Der Anfänger kann diese Angaben unberücksichtigt lassen. Ab Seite 278 findet man die **ekliptikalischen Koordinaten** des Mondes,

der Sonne und der großen Planeten von Merkur bis Neptun und Pluto. Die **äquatorialen Koordinaten** der Planeten und Kleinplaneten sind für das Äquinoktium J2000.0 angegeben, damit man sie leichter in vorhandene Sternkarten einzeichnen kann. Die Aufsuchkärtchen gelten ebenfalls für J2000.0. Ferner sind Kulminationszeiten sowie die Auf- bzw. Untergangszeiten, Scheibchendurchmesser in Bogensekunden und beleuchteter Teil der Planetenscheibchen vermerkt. Bei Saturn ist noch die Ringöffnung zur Erde und zur Sonne sowie die scheinbare Ausdehnung der großen und der kleinen Ringachse angegeben.

Für Sonne, Mars und Jupiter (System I und II) sind die **Zentralmeridiane** (Meridiane durch den Scheibenmittelpunkt) jeweils für 1^h MEZ vermerkt. Ferner gibt die Sonnenephemeride die Entfernung der Sonne von der Erde in AE sowie ihren scheinbaren Durchmesser, die Achsenlage und die Sternzeit an.

Sternbedeckungen durch den Mond sind für Berlin, Dresden, Hamburg, Hannover, Düsseldorf, Frankfurt (Main), Leipzig, München, Nürnberg, Stuttgart, Wien und Zürich angegeben. Aus Platzersparnisgründen ist jeweils nur ein Positionswinkel angegeben, der dem leichteren Aufsuchen des zu bedeckenden Sternes dienen soll. In den Monatsübersichten wird unter der Rubrik „Mondlauf“ in der Spalte „Sterne und Sternbilder“ durch ein Sternchen (*) auf eine Sternbedeckung hingewiesen.

Veränderliche Sterne sind im Anschluss an die Fixsternmonatsübersichten aufgeführt. Für Algol (β Persei) und β Lyrae findet der Sternfreund jeweils die Minima-Zeiten, für δ Cephei die Lichtmaxima und für den langperiodischen Veränderlichen Mira (o Ceti) den jeweiligen Helligkeitszustand.

Die Aufsuchkärtchen findet man auf Seite 307. Bei den Minima-Angaben für Algol ist die Lichtzeitkorrektur (heliocentrisch auf geozentrisch) berücksichtigt.

Eine **Sternzeitafel** soll die rasche Bestimmung der Sternzeit zur abendlichen Beobachtungsstunde ermöglichen. Die Sternzeit für 1^h MEZ, bezogen auf den Meridian von Greenwich (Nullmeridian), findet man in der Tabelle „Ephemeride der Sonnenscheibe“ (letzte Spalte).

Das **Julianische Datum** ist jeweils für den Monatsersten in der Rubrik „Sonnenlauf“ angegeben. Das Julianische Datum stellt eine fortlaufende Tageszählung dar, die mit dem 1. Januar des Jahres -4712 (= 4713 v. Chr.) beginnt.

Im Anhang finden sich **zwei Verzeichnisse astronomischer Institutionen**. Im Verzeichnis „Astronomische Institute, Planetarien und Sternwarten“ findet man die professionellen Einrichtungen im deutschen Sprachraum. Das Verzeichnis „Amateurastronomische Vereinigungen, Beobachtungsstationen und Privatsternwarten“ enthält astronomische Vereine, Schulsternwarten sowie ehrenamtlich be-

triebene Sternwarten mit Publikumsverkehr.

Dieses Verzeichnis soll dem Leser den Kontakt zu Gleichgesinnten erleichtern und die eigene Beobachtungstätigkeit fördern. Das Verzeichnis erhebt keinen Anspruch auf Vollständigkeit.

Weitere Adressen nimmt der Herausgeber gerne auf (Anschrift: Planetarium Stuttgart, Willy-Brandt-Straße 25, 70173 Stuttgart).

LITERATURHINWEISE

Erklärung astronomischer Fachbegriffe:

H.-U. Keller,
Wörterbuch der Astronomie
H.-U. Keller,
Kompendium der Astronomie
(6. Auflage 2019)

Sternkarten für eigene Beobachtungen:

H.-M. Hahn, G. Weiland,
Drehbare Kosmos-Sternkarte
E. Karkoschka,
Atlas für Himmelsbeobachter
E. Karkoschka,
Drehbare Welt-Sternkarte
E. Karkoschka,
Sterne finden am Südhimmel

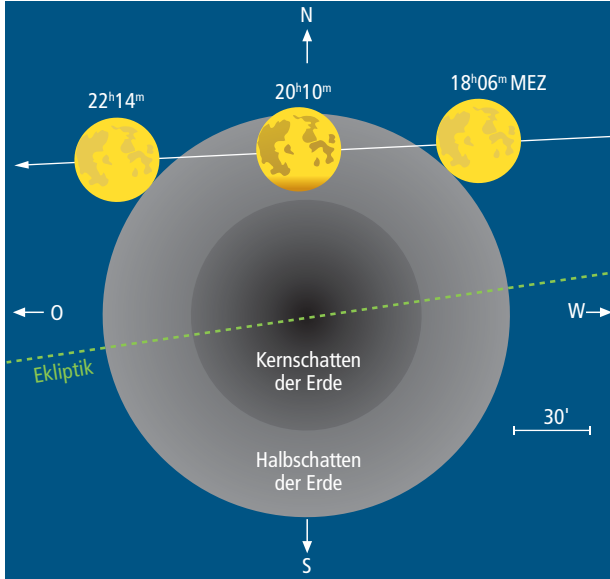
Software:

United Soft Media
Redshift für PC, MacOS und als App für iOS und Android

Astronomie im Internet:

www.kosmos-himmelsjahr.de
www.astronomie.de
www.astrotreff.de
www.sternfreunde.de
www.sternwarte.de

Sonnen- und Mondfinsternisse 2020



F.1 Verlauf der Halbschattenfinsternis des Mondes vom 10. Januar 2020.

ternis vom 10. Januar beobachtet werden.

Alle anderen Finsternisse bleiben von Mitteleuropa aus unsichtbar.

HALBSCHATTENFINSTERNIS DES MONDES AM 10. JANUAR

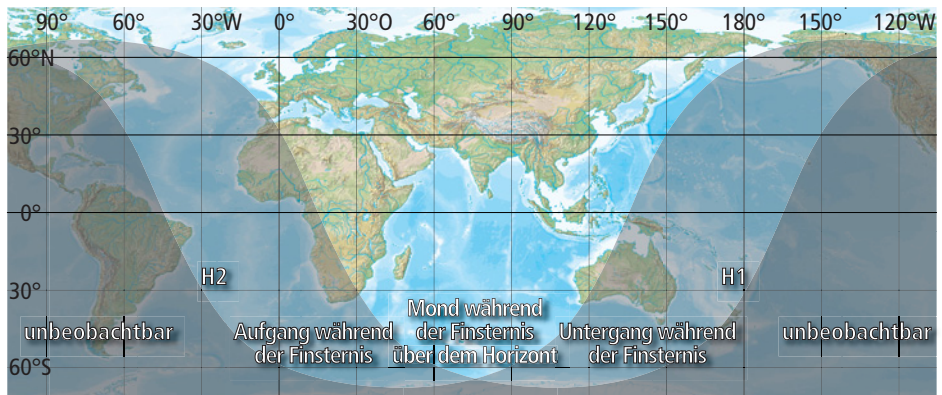
Diese Finsternis findet in den Abendstunden am Freitag, 10. Januar 2020 statt. Der Mond taucht dabei zu 92,1 Prozent seines scheinbaren Durchmessers in den Halbschatten der Erde ein.

Zum Höhepunkt der Finsternis zeigt die Südkalotte einen leichten Grauschleier. Halbschattenfinsternisse des Mondes sind weitgehend unauffällig.

Im Jahr 2020 finden am 21. Juni eine ringförmige und am 14. Dezember eine totale Sonnenfinsternis statt sowie vier Halb-

schattenfinsternisse des Mondes. Von Mitteleuropa aus kann unter guten Sichtbedingungen lediglich die Halbschattenfinsternis

F.2 Sichtbarkeitsgebiet der Halbschattenfinsternis des Mondes vom 10. Januar 2020. H1: Eintritt in den Halbschatten, H2: Austritt aus dem Halbschatten.



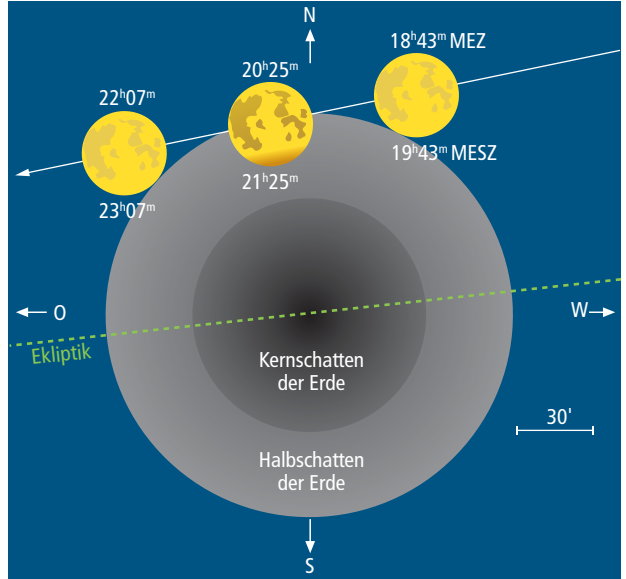
F.3 Verlauf der Halbschattenfinsternis des Mondes vom 5. Juni 2020.

lig und werden oft kaum wahrgenommen.

Die Finsternis ist von Europa, Afrika und Asien aus zu verfolgen. Allerdings sind weder der Eintritt noch der Austritt des Mondes aus dem Halbschatten beobachtbar.

Die Finsternis nimmt folgenden Verlauf:

Eintritt des Mondes in den Halbschatten	MEZ 18 ^h 06 ^m
Mitte der Finsternis	20 ^h 10 ^m
Austritt des Mondes aus dem Halbschatten:	22 ^h 14 ^m



Zur Mitte der Finsternis stehen 92,1% des scheinbaren Mondscheibendurchmessers im Halbschatten der Erde.

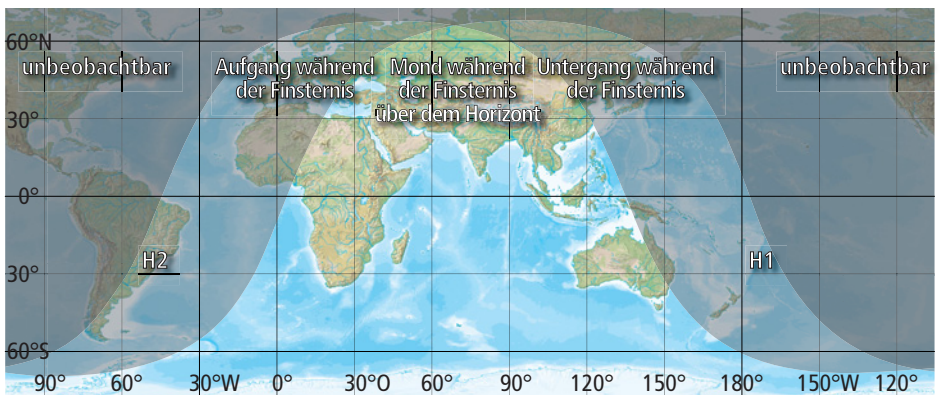
Diese Mondfinsternis ist die 16. im Saros-Zyklus Nr. 144, der insgesamt 71 Mondfinsternisse umfasst. Die erste Finsternis dieses Saros-Zyklus fand am 29.

Juli 1749 statt, die letzte wird sich am 4. September 3011 ereignen. Der Saros-Zyklus 144 umspannt damit einen Zeitraum von 1262 Jahren. Die erste totale Mondfinsternis dieses Zyklus wird am 16. Juli 2326 eintreten.

HALBSCHATTENFINSTERNIS DES MONDES AM 5. JUNI

Diese Finsternis ereignet sich in den Abendstunden am Freitag, 5. Juni 2020. Der Mond taucht dabei zu 59,3 Prozent seines scheinbaren Durchmessers in

F.4 Sichtbarkeitsgebiet der Halbschattenfinsternis des Mondes vom 5. Juni 2020. H1: Eintritt in den Halbschatten, H2: Austritt aus dem Halbschatten.



den Halbschatten der Erde ein. Die leichte Abschattung der Südkalotte ist recht unauffällig. Beobachtbar ist diese Finsternis in Asien ohne die nordöstlichen Gebiete und ohne Japan, östlichem und südlichem Afrika, Australien sowie im Indischen Ozean.

Der Mondaufgang erfolgt für 10° östlicher Länge und 50° nördlicher Breite am 5. Juni um 20^h12^mMEZ (= 21^h12^mMESZ). Bis sich der Mond über die dichtesten Dunstschichten am Horizont erhoben hat, ist die Fins-

ternis so weit fortgeschritten, dass sie kaum wahrgenommen wird.

Die Finsternis nimmt folgenden Verlauf:

Eintritt des Mondes in den Halbschatten	18 ^h 43 ^m	19 ^h 43 ^m
Mitte der Finsternis	20 ^h 25 ^m	21 ^h 25 ^m
Austritt des Mondes aus dem Halbschatten	22 ^h 07 ^m	23 ^h 07 ^m

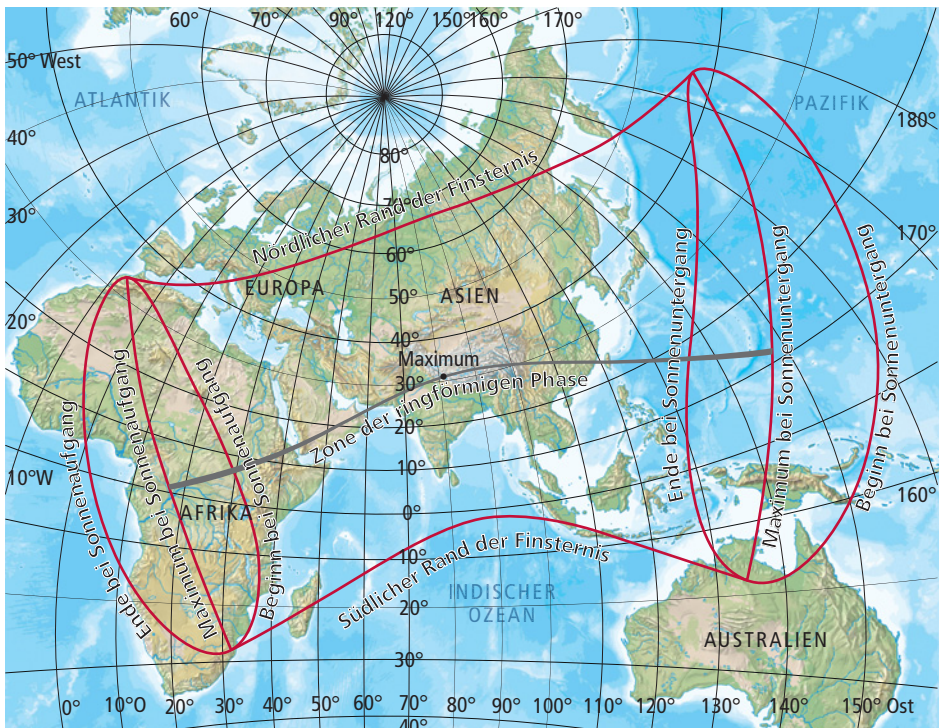
Zur Mitte der Finsternis befinden sich 59,3% des scheinbaren Mondscheibendurchmessers im Halbschatten der Erde. Dies ist die 67. Finsternis des Saros-Zyklus Nr. 111, zu dem insge-

samt 71 Mondfinsternisse gehören. Die erste Finsternis des Saros-Zyklus 111 war die Halbschattenfinsternis vom 10. Juni 830.

RINGFÖRMIGE SONNENFINSTERNIS AM 21. JUNI

Diese Finsternis findet am Sonntag, 21. Juni 2020 statt. In Mitteleuropa bleibt sie auch in ihren partiellen Phasen unbeobachtbar. Sie ist sichtbar in Südosteuropa, in Afrika mit Ausnahme der westlichen und südlichsten Gebiete, in weiten Teilen Asiens einschließlich Japans, in Ozeanien und im nördlichen Indischen Ozean.

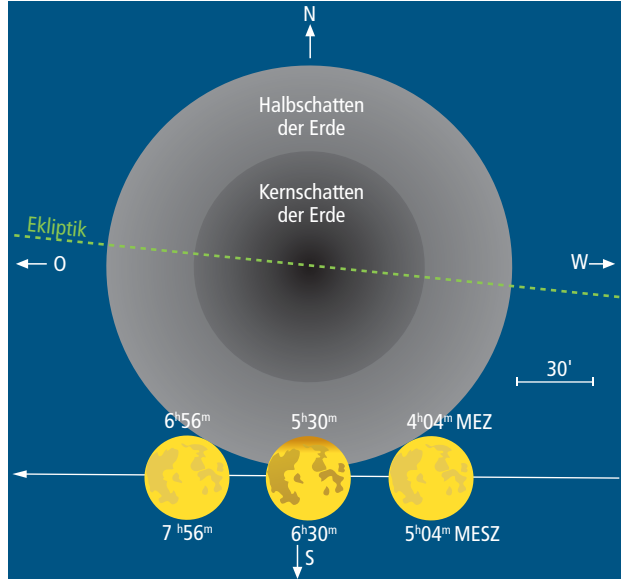
F.5 Globaler Verlauf der ringförmigen Sonnenfinsternis vom 21. Juni 2020.



F.6 Verlauf der Halbschattenfinsternis des Mondes vom 5. Juli 2020.

Die Zone der ringförmigen Phase beginnt in Zentralafrika am Ort 17°48' östlicher Länge und 1°16' nördlicher Breite um 5^h48^m MEZ und endet im Pazifischen Ozean am Ort 147°35' östlicher Länge und 11°28' nördlicher Breite um 9^h32^m MEZ. Der Höhepunkt der Finsternis wird um 7^h40^m MEZ im Norden des indischen Subkontinents am Ort 80°07' östlicher Länge und 30°35' nördlicher Breite erreicht, wobei die Zone der ringförmigen Phase eine Breite von gut 21 Kilometer aufweist. Die Dauer der ringförmigen Verfinsterung erreicht dort 0^m38^s. Zum Maximum steht die Sonne 83° über dem Südhorizont. Der scheinbare Durchmesser der dunklen Neumondscheibe entspricht dabei 99,4% des Durchmessers der Sonnenscheibe.

Die Finsternis beginnt am 21. Juni um 4^h46^m MEZ (1. Kontakt)



am Ort 34°25' östlicher Länge und 1°02' südlicher Breite und endet um 10^h 34^m MEZ (4. Kontakt) am Ort 130°58' östlicher Länge und 9°11' nördlicher Breite.

Diese Sonnenfinsternis ist die 36. im Saros-Zyklus 137, der insgesamt 70 Finsternisse, darunter 36 ringförmige, umfasst.

HALBSCHATTEN-FINSTERNIS DES MONDES AM 5. JULI

Sie ereignet sich in den Morgenstunden am Sonntag, 5. Juli 2020. Der Mond taucht dabei nur zu 38,0% seines scheinbaren Durchmessers in den Halbschatten der Erde ein. Damit ist diese Finsternis kaum zu regis-

Ferien über den Wolken

SATTLERGER'S ALPENHOF
EMBERGER ALM

Zwei Sternwarten auf 1800 Meter Höhe, ein perfekter Sternenhimmel und ein wunderbares Wandergebiet erwarten Sie.

Astronomiekurse für Einsteiger
Teleskoptreffen im September

www.alpsat.at

Sattleggers Alpenhof
9771 AT-Berg/Drautal
office@alpsat.at



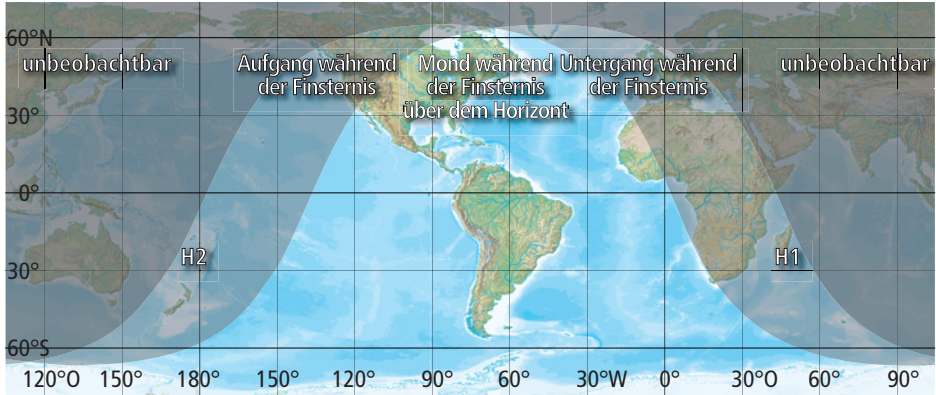
Reisen Sie mit uns zu den Originalschauplätzen von Forschung, Wissenschaft und Technologie:

Kultur & Reisen

Dr. Eckehard Schmidt
Neuendettelsauer Str. 22
90449 Nürnberg
Tel.: (0911) 47 20 978

www.wissenschafts-reisen.de
info@wissenschaftsreisen.de



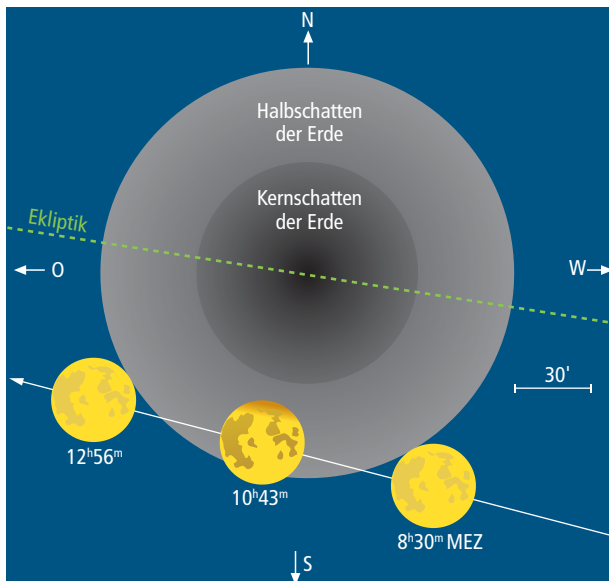
F.7 Sichtbarkeitsgebiet der Halbschattenfinsternis des Mondes vom 5. Juli 2020. H1: Eintritt in den Halbschatten, H2: Austritt aus dem Halbschatten.

trieren. Theoretisch beobachtbar ist diese Finsternis in Nordamerika ohne die nordöstlichen Gebiete, in Mittel- und Südamerika, in der Antarktis sowie den angrenzenden Ozeanen Atlantik und Pazifik. Die Finsternis nimmt folgenden Verlauf:

Eintritt des Mondes in den Halbschatten	MEZ	MESZ
Mitte der Finsternis	4 ^h 04 ^m	5 ^h 04 ^m
Austritt des Mondes aus dem Halbschatten	5 ^h 30 ^m	6 ^h 30 ^m
	6 ^h 56 ^m	7 ^h 56 ^m

Zur Mitte der Finsternis befinden sich 38,0% des scheinbaren Mondscheibendurchmessers im Halbschatten der Erde.

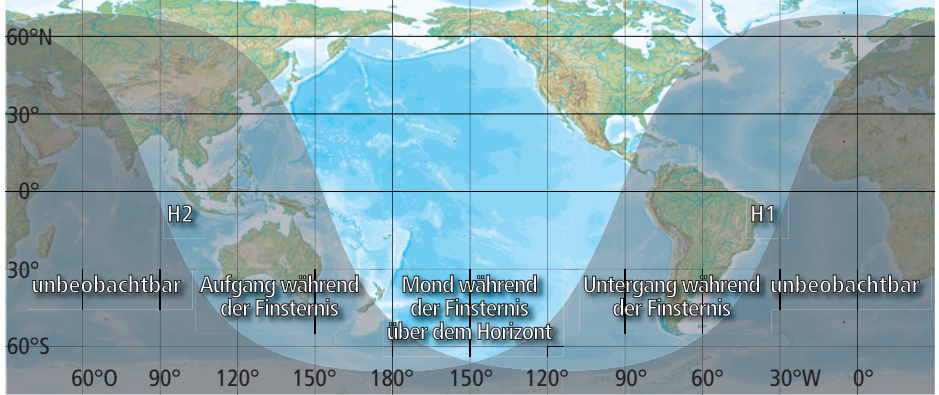
Dies ist die 3. Finsternis des Saros-Zyklus Nr. 149, zu dem insgesamt 71 Mondfinsternisse gehören. Die letzte Finsternis des Saros-Zyklus 149 wird die Halbschattenfinsternis vom 20. Juli 3246 sein.



HALBSCHATTENFINSTERNIS DES MONDES AM 30. NOVEMBER

Diese Finsternis findet in den Vormittagsstunden am Montag, 30. November 2020 statt. Sie ist sichtbar in Nordamerika, im Pazifischen Ozean und in äußersten nordöstlichen Gebieten Asiens sowie im Norden Japans. Sie bleibt von Europa aus unbeobachtbar.

F.8 Verlauf der Halbschattenfinsternis des Mondes vom 30. November 2020.



F.9 Sichtbarkeitsgebiet der Halbschattenfinsternis des Mondes vom 30. November 2020. H1: Eintritt in den Halbschatten, H2: Austritt aus dem Halbschatten.

Die Finsternis nimmt folgenden Verlauf:

Eintritt des Mondes in den Halbschatten	MEZ 8 ^h 30 ^m
Mitte der Finsternis	10 ^h 43 ^m
Austritt des Mondes aus dem Halbschatten	12 ^h 56 ^m

Zur Mitte der Finsternis befinden sich 85,5% des Mondschei-


bendurchmessers im Halbschatten der Erde.

Bei dieser Halbschattenfinsternis sind die nördlichen Partien der Mondscheibe um das Mare Frigoris von einem Grauschleier überzogen.

Diese Finsternis ist die 58. im Saros-Zyklus 116, zu dem insgesamt 73 Mondfinsternisse gehören.

TOTALE SONNENFINSTERNIS AM 14. DEZEMBER

Sie findet am Montag, 14. Dezember 2020 statt. Von ganz Europa aus bleibt die Finsternis auch in ihren partiellen Phasen unbeobachtbar. Sie ist sichtbar in südlichen Gebieten Südamerikas, Südwestafrika, Antarktis, Pazifik und Südatlantik.

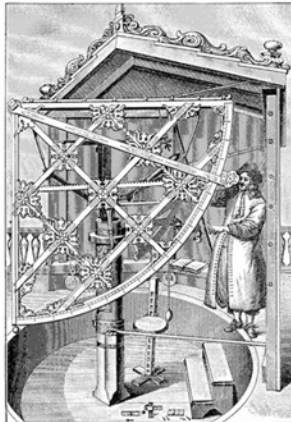


09. Mai 2020
von 10.00 - 18.00 Uhr

Europas größte
Astronomiebörse


mit internationaler
Beteiligung!

Gymnasium am Stoppenberg
Im Mühlenbruch 51, 45141 Essen



Zahlreiche Anbieter,
Teleskope aller Bauarten,
Zubehör, Bücher, EDV, CCD,
Vorträge, Kontakte, Sternwarten,
Astronomievereine

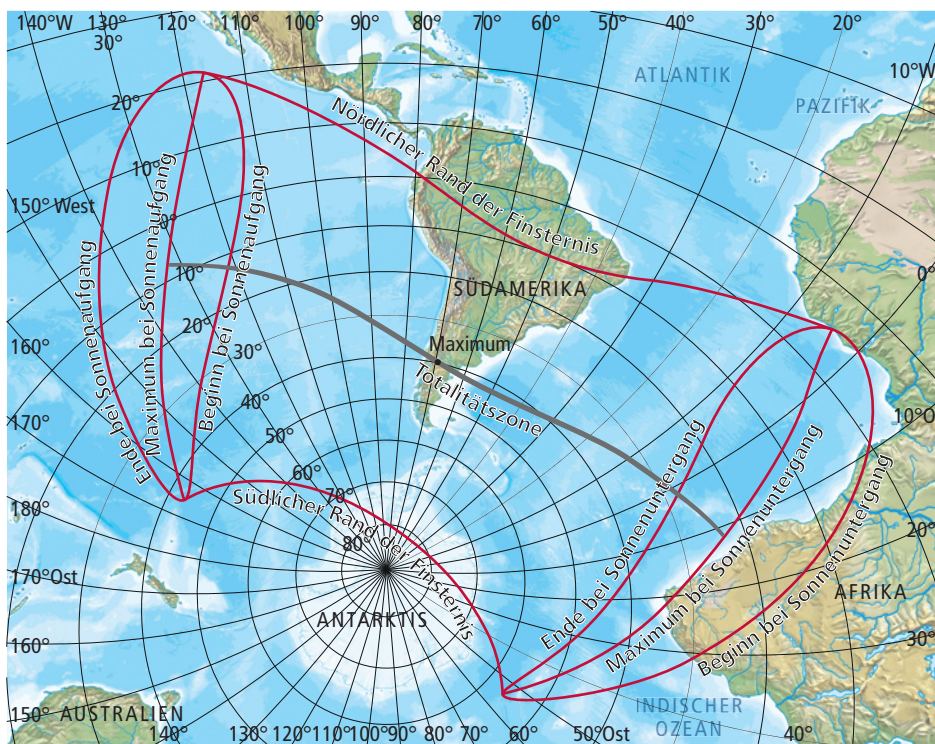
Weitere Infos von der:



Walter-Hohmann-Sternwarte
Essen e.V.

Walter-Hohmann-Sternwarte
Essen e.V.
Wallneyer Str. 159, D-45133 Essen

besucher@att-essen.de
www.att-essen.de



F.10 Globaler Verlauf der totalen Sonnenfinsternis vom 14. Dezember 2020.

Die Totalitätszone zieht sich vom Pazifischen Ozean über das südliche Südamerika in den Südatlantik, wo sie kurz vor der südafrikanischen Küste bei $11^{\circ}03'$ östlicher Länge und $23^{\circ}37'$ südlicher Breite endet.

Der Höhepunkt der Finsternis wird um $17^{\text{h}} 13^{\text{m}}$ MEZ im südlichen Südamerika (Patagonien)

am Ort $67^{\circ}54'$ westlicher Länge und $40^{\circ}21'$ südlicher Breite erreicht, wobei die Breite der Totalitätszone 90 Kilometer beträgt. Die maximale Dauer der totalen Verfinsternung erreicht $2^{\text{m}}10^{\text{s}}$. Zum Maximum steht die Sonne 73° hoch in nördlicher Richtung. Die Finsternis beginnt um $14^{\text{h}}34^{\text{m}}$ MEZ (1. Kon-

takt) am Ort $115^{\circ}39'$ westlicher Länge und $2^{\circ}06'$ südlicher Breite und endet um $19^{\text{h}}53^{\text{m}}$ am Ort $6^{\circ}30'$ westlicher Länge und $18^{\circ}01'$ südlicher Breite (4. Kontakt).

Die Finsternis ist die 23. im Saros-Zyklus Nr. 142, der insgesamt 72 Sonnenfinsternisse umfasst.